

Determinación de la Conductividad Térmica y de la Permeabilidad de los Materiales Refractarios, su Estudio y su Correlación con otras de sus Características

PARTE I: CONDUCTIVIDAD TERMICA

Fernando Monreal Hernández

MEXICO, D. F.





UNAM – Dirección General de Bibliotecas Tesis Digitales Restricciones de uso

DERECHOS RESERVADOS © PROHIBIDA SU REPRODUCCIÓN TOTAL O PARCIAL

Todo el material contenido en esta tesis esta protegido por la Ley Federal del Derecho de Autor (LFDA) de los Estados Unidos Mexicanos (México).

El uso de imágenes, fragmentos de videos, y demás material que sea objeto de protección de los derechos de autor, será exclusivamente para fines educativos e informativos y deberá citar la fuente donde la obtuvo mencionando el autor o autores. Cualquier uso distinto como el lucro, reproducción, edición o modificación, será perseguido y sancionado por el respectivo titular de los Derechos de Autor.

FACULTAD DE QUIMICA

Determinación de la Conductividad Térmica y de la Permeabilidad de los Materiales Refractarios, su Estudio y su Correlación con otras de sus Características

> PARTE I: CONDUCTIVIDAD TERMICA

> > Que para obtener el título de :
> > INGENIERO QUIMICO

FERNANDO MONREAL HERNANDEZ

JURADO ASIGNADO:

Presidente: I.Q. Manuel Gavaldon Mont.

Vocal: Dr. Liberto De Pablo Galan.

Secretario: I.Q. Jorge Spamer García Conde.

ler. Suplente: I.Q. Alberto Obregon Pérez:

2do. Suplente: 1.Q. Cutherto Ramírez Castillo.

SITIO DONDE SE DESARROLLO EL TEMA:

CIA. MEXICANA DE REFRACTARIOS A.P. GREEN, S.A.

SUSTENTANTE:

FERNANDO MONREAL HERNANDEZ

ASESOR DEL TEMA:

DR. LIBERTO DE PABLO CALAN.

Con admiración y gratitud a mi padre, quien con su ejemplo ha trazado el sendero)

Con veneración y todo mi cartño a mi madra

Con admiración y cari o a mis hermanos

A mic macetros, compeñeros y emigos

Agradezco a la Cia. Mexicana de Refractarios
A. P. Green, S. A. la oportunidad y facilidades que me fueron proporcionades para
la realización de este estudio y especialmente a las siguientes personas:
Dr. Liberto de Pablo Galán
lng. Juan Manuel Bravo L.

SUMARIO.

SINOPSIS.

INTRODUCCION - Capítulo I

GENERALIDADES - Capítulo II

CONDUCTIVIDAD TERMICA. TEORIA Y ANTECEDENTES BIBLIOGRAFICOS - Capítulo III

DESCRIPCION DEL APARATO Y PROCEDIMIENTO EXPERIMENTAL - Capítulo IV

RESULTADOS - Capítulo V

CONCLUSIONES - Capítulo VI

BIBLIOGRAFIA.

SINOPSIS

En el presente trabajo se determinó la Conductívidad Térmica de les materiales refractariós; para ello se analizaron los métodos mas convenientes construyendo el aparato respectivo.

El principal objeto del conocimiento de esta propiedad, es contribuir al control de calidad
de los materiales refractarios, así como tener
mayor información de sus propiedades para su correcta aplicación.

CAPITULO I

INTRODUCCION

En los últimos años la industria se ha visto afectada por -grandes avances tecnológicos. Importantes progresos en metalurgia, vidrio,
productos del petróleo, cemento y muchas otras industrias son palpables. -Tales circunstancias han creado procesos que involucran el uso de temperaturas altas y condiciones más severas de operación dentro de los hornos -revestidos con materiales refractarios. Por tal razón que se necesite un -control de calidad más riguroso y un constante desarrollo de nuevos product s y técnicas que provean información básica para las diversas aplicaciou a que estos materiales están sujetos.

Las principales propiedades que se determinan actualmente a los materiales refractarios para su control de calidad y para su aplicación
en los procesos y equipos de diseño son las siguientes:

- a) Equivalente al cono pirométrico.
- b) Cambio lineal permaneate,
- c) Deformación bajo carga.
- d) Prueba de disgregación.
- e) Porosidad aparente

- f) Absorción de agua.
- g) Módulo de ruptura.
- h) Compresión en plane.
- i) Densidad
- j) Análisis químico.

Sin embargo en México no se habían determinado hasta la fecha otras propiedades importantes que ya se exigen actualmente, dos de estas - son:

- 1. Conductividad termica
- 2. Permeabilidad.

GENERALIDADES.

Definidos en su forma más simple los refractarios son materiales carámicos inorgánicos, no metálicos que pueden ser sometidos a altas tem
peraturas soportando condiciones severas o destructivas de servicio (29). Su fabricación está estrechamente ligada al desarrollo de la industria moderna. El calor es fuente de energía que se aprovecha en todas sus formas
gracias al concurso de los refractarios.

El uso de los refractarios es básico para el funcionamiento de la industria y puede decirse que sin ellos no podrían fabricarse el acero, el vidrio o el azúcar por lo procedimientos que se conocen actualmente. Ya que las condiciones de operación en cada proceso son muy diferentes, es necesario contar con diversos tipos de refractarios, que además de resistir temperaturas elevadas, deberán soportar abrasión mecánica, cambios bruscos de temperatura, cargas en caliente o ataque de metales fundidos y vapores corrosivos a temperaturas muy elevadas. De cualquier forma siempre será necesario hacer un estudio detallado de las condiciones de operación de un horno con el objeto de saber cual es el tipo de retractario adecuado.

Ura de las clasificaciones más sencillas que se da a los -- refractarios es la siguiente:

- A. Sílico aluminosos
- B. Silice.
- C. Básicos.
- D. Aislantes térmicos.
- E. Especiale ..

En México hasta la fecha el grupo predominante ba sido el primero, no sólo porque resulta ser los más baratos sino porque son los mas ver sátiles siendo los más aplicables en la industria en general. Estos se ciasifican a su vez en productos de:

- a) Calidad baja
- b) Calidad intermedia
- c) Alta calidad
- d) Calidad superior
- e) 50% de alúmina
- f) 60% de alúmina
- g) 70% de alúmina

Principalmente esta clasificación se basa en su punto de fusión o equivalente al cono pirométrico de la escala Orton, sin embargo, en algunos casos se toman en consideración algunas otras propiedades. 95% de SiO₂; éstos están fabricados a base cuarzo y cal hidratada que los liga. Estos materiales tienen una excelente resistencia a la deformación - bajo carga en caliente, siendo una de sus limitaciones principales su elevada expansión térmica reversible y consecuentemente su baja resistencia - al choque térmico. Su uso más generalizado es en la industria del vidrio.

Los básicos son materiales de un punto de fusión muy elevado, siendo practicamente inertes al ataque de escorias básicas. Estos materiales son fabricados a base de dolomita, combinaciones de magnesita y cromo o de cada uno por separado

Los aislantes térmicos del grupo D se clasifican atendiendo a su densidad y a su temperatura de servicio de acuerdo a la siguiente tabla.

GRUPO	TEMPERATURA DE SERVICIO (°C)	DENSIDAD
16	845	0.54
20	1065	0.64
23	1230	0.77
26	1400	0.86
28	1510	0.96
30	1620	1.09
32	1730	1.52
33	1790	1.52

En el último grupo se comprenden todos los demás refractarios, entre los cuales tenemos los de 80% o más de olúmina, que son excelentes — para servicios de temperaturas de operación muy elevadas y donde además se requieren piezas resistentes estructuralmente. Se incluyen también dentro — de este grupo, los materiales de carburo de silicio, zirconio, grafito, nítruro de boro, etc.

En el presente trabajo se estudiarán unicamente algunos de los refractarios aislantes del grupo D ya que es en estos donde la conductividad térmica toma mayor importancia.

En la tabla II-l se indican las características principales de los refractarios aislantes considerados.

TABLA-II-1.

CAUDADES DE LADRILLOS ESTUDIADOS

PROPIEDADES DE LOS LADRILLOS REFRACTARIOS AISLANTES COMERCIALES ESTUDIADOS.									
	I	п	ш	IY	¥	AI	MI	AIII	IX
EQUIVALENTE CONO PIRO- METRICO (ORTON). DESIGNACION ASTMC 24-54	₩	*	₩	34	*	*	->4	×	*
TEMPERATURA MAXIMA RECOMENDABLE °C	870	1085	1260	1425	1535	1260	1425	7538	1650
POROSIDAD APARENTE % DESIGNACION ASTMO2045	+		+	b = -74	60-68	30-69	63:73	69-75	67-73
ABSORCION DE AGUA % DESIGNACION AS XM C 20-46	+		+	72-79	55-65	112-82	93	86.93	79-85
DENSIDAD 9,6m3 DESIGNACION ASTMO2046	0.5-0.55	0.68.056	0.75-0 80	0.80 0.85	0.90-0.96	075-0.80	075-0.60	0.74-0.60	080-087
CONTENIDO DE ALUMINA %	11-13	10-12	30-32	48-50	59-61	j2-37	41-43	60-63	62-65

PERO SIEMPRE SE INDICA LA TEMPERATURA MAXIMA RECOMENDADA.

¹ NO SE DETERMINARION POR NO SER APLICABLES LAS PRULLAS CORRESPONDEN YES DE LA ALSILM.

CAPITULO III

CONDUCTIVIDAD TERMICA.

TEORIA Y ANTECEDENTES BIBLIOGRAFICOS.

CONDUCTIVIDAD TERMICA.

Cuando se calienta un horno, fluye hacia el exterior energía térmica que causa una diferencia de temperaturas entre las superficies
internas y externas de paredes y techos. Parte de esta energía térmica es
almacenada en el revestimiento refractario del horno, y parte fluye a través de las paredes y bóvedas y es perdida al aire exterior por radiación y
convección. La cantidad de calor que así se escapa es a menudo de considerable importancia en la economía de los procesos (18).

Conducción térmica (21) es el proceso por el cual el calor es transferido por interacción entre los átomos individuales, iones y moléculas. En los fluídos una molécula choca con otra que tiene menor energía - cinética e imparte algo de su energía a ella. En los sólidos la energía es transferida por interacción entre los átomos vecinos.

De la ecuación de Fourier el coeficiente de conductividad térmica se define (32) como la cantidad de calor que fluye a través de la de la unidad de área, en la unidad de tiempo, si el gradiente de temporar ra a través de esta área es la unidad.

Una alta conductividad térmica es deseable para los refractarios empleados en construcciones que requieren transferencias de calor a través — del revestimiento, como en muflas, hornos con hogar de combustión inferior — (30), paredes de hornos de subproductos de coke y en recuperadores (27); sin embargo, en la mayor parte de los hornos se nacesitan materiales refractarios con un coeficiente de conductividad térmica bajo, para la conservación del — calor.

CONDUCCION POR FONONES (21)

En los cuerpos sólidos hay dos procesos por los cuales la conducción del calor toma lugar. La energía se transfiere por el acoplamiento entre las vibraciones estructurales ó por movimiento electrónico y colisiones con los átomos. Para materiales dieléctricos, como lo són la mayor parte - de los materiales cerámicos, los electrones no están libres para moverse a - través de la estructura en concentraciones apreciables, y el calor se transfiere principalmente por vibraciones estructurales. Si las vibraciones estructurales fueran completamente armónicas no habría resistencia al flujo - de calor; en cristales reales la naturaleza anarmónica de las vibraciones - lleva a la atenuación de las ondas termoelásticas y a una conductividad -- térmica disminuída. En el desarrollo de una teoría para el proceso de conducción, las formas de vibración son cuantificadas y por analogía con los - fotones de la teoría de radiación han side llamados fonones por Peierls (22), que considera, fluyen a lo largo del gradiente térmico.

Y que la conductividad térmica del cuerpo se determina por las colisiones inelásticas y dispersión de los fonones, es conveniente emplear un concepto de trayectoria libre media para este proceso. Por analogía con la teoría cinética, Debye (22) ha expresado convenientemente la conductividad térmica de un sólido como:

$$K = \frac{1}{3}$$
 s v 1 ---- (1)

donde: s = calor específico por unidad de volúmen.

v = velocidad de onda elástica (o media de partícula).

y 1 = trayectoria libre medía del fonón.

El análisis teórico de la conductividad térmica de los dieléctricos ha sido referido principalmente a determinar la trayectoria libre media para colisiones de fonones. Si las vibraciones fueran completamente armónicas a través de la estructura, no ofrecerían resistencia al flujo de fonones y la trayectoria libre media, así como la conductividad térmica de tales cuerpos sería infinita.

Las teorías actuales no permiten la predicción de la con-ductividad térmica a partir de los principios básicos.

FFECTO DE ESTRUCTURA CRISTALINA.

liny grandes variaciones en conductividad térmica para diferentes materiales cristalinos. Para una comparación realmente satisfacto--

ría los materiales deben ser comparados a temperaturas aproximadas a la temperatura característica Debye. El efecto de la celda estructural, sobre la conductividad, está dado por el grado de desviación de las vibraciones perfectamente armónicas. La anarmonicidad es afectada particularmente por los pesos atómicos relativos de los iones presentes. Sin embargo, además hay efectos secundarios relacionados a detalles de la estructura atómica, indicados por el hecho de que la conductividad térmica varía con la dirección el a propagación del calor en una estructura cristalina.

Los cristales con estructuras más complejas, tienen una mayor tendencia hacia la dispersión o desparramamiento térmico de las ondas estruc
turales y consecuentemente a disminuir la conductividad térmica. Los materiales como la mulita (21) con estructura compleja, tienen una trayectoria libre media baja para las ondas termoelásticas que se aproxima a las dimensiones de una celda unitaria a moderadas temperaturas, presentando una conductividad térmica menor que por ejemplo el aluminato de magnesio. El decremento de la trayectoria libre media abajo de este valor no es fisicamente posible, así que la conductividad térmica viene a ser aproximadamente -independiente de la temperatura a elevadas temperaturas.

SOLUCIONES SOLIDAS.

También, como en las estructuras cristalinas complejas, la conductividad térmica, se disminuye grandemente por la adición de un segundo componente en solución sólida. La adición de un segundo átomo en solución sólida, provee centros adicionales de dispersión o desparramamiento (1).

En un cuerpo real operan varios mecanismos de desparramamiento que limitan la trayectoria libre media de los fonones. Elemens (22)
ha mostrado que si más de un mecanismo está presente, la trayectoria libre
media total debida a los diversos procesos puede ser dada por:

$$\frac{1}{1_{11}} = \frac{1}{1_{1}} + \frac{1}{1_{1}} = \frac{1}{1_{2}} \qquad ----- (2)$$

1, = trayectoria libre media total

Esto es que las inversas de las trayectoria libre medias para diferentes procesos de dispersión son aditivas.

Consecuentemente el efecto de desparramamiento por la impureza en solución sólida es mayor a bajas temperaturas y para estructuras - simples en las que el deparramamiento térmico es bajo y la trayectoria libre media, debido a este proceso es alta. El deparramamiento adicional para con centraciones bajas es directamente proporcional a la concentración en volúmen del segundo componente adicionado. Esto significa que la resistividad (1/k), incrementa en proporción a la fracción en volúmen adicionada. Además, el efecto de las inpurezas sobre la resistividad es independiente de la tem peratura, la trayectoria libre media del desparramamiento es independiente

de la temperatura. Puesto que, la trayectoria libre media debido al desparra mamiento térmico decrece rapidamente con la temperatura, el efecto de las impurezas sobre la conductividad, depende grandemente del nivel de temperatura.

A temperaturas (22) arriba de la temperatura Debye, la trayectoria libre media por desparramamiento térmico es inversamente proporcional à la temperatura y la trayectoria libre media debida al desparramamiento por impurezas, como se mencionó, usualmente se considera independiente de la temperatura. La capacidad calorífica s, y la velocidad de onda v, aproximadamente son independientes de la temperatura, así que una buena aproximación de la resistividad térmica es dada por:

$$\tau = \frac{1}{k} = a + bt - - - - - - (3)$$

a y b = constantes.

Además, la inversa de la trayectoria libre media, es directamente proporcional a la concentración de centros dispersores, C, así que a una temperatura constante:

$$r = \frac{1}{k} = x + yc$$
 ---- (4)

x y y : constantes.

El valor mínimo posible, como quiera, para la trayector la libre media es el orden de las dimensiones de la estructura, así que el efecto de las impurezas, alcanza un límite en algún valor bajo de conductividad térmica del orden de 0.003 cal. scg -1 °C-1 cm⁻¹ para óxidos, la cual no puede ser reducida (23). Este es el caso, por ejemplo, para vidrios (23). La efectividad de las impurezas en reducir la conductividad térmica depende de cuan to ellas desorganizan a la estructura.

Si una nueva fase se forme por la adición de un segundo componente, su efecto sobre la conductividad térmica dependerá de la conductividad relativa de la nueva fase, y de la distribución de la fase. Estas diferencias serán tratadas mas adelante.

CONDUCCION DE ENERGIA RADIANTE (1)

La transferencia de energía radiante, es un aspecto de la transferencia de calor en materiales cerámicos que viene a ser de primera importancia en algunas aplicaciones.

La energía radiante total emitida desde una superficie de área A a la temperatura T en un medio con un índice de refracción n está dada por:

$$q = 7^2 G = A T^4 - - - - - (5)$$

donde:

E = emisividad total.

T= constante de radiación = 1.353 x 10⁻¹² qal/seg/cm²/grado⁴.

La transferencia de calor entre dos placas grandes paralelas a di ferentes temperaturas, cuando el medio entre ambas no absorbe energía está dado por:

$$q = 7^{2} r_{E} \wedge (T_{1}^{4} - T_{2}^{4}) - - - (6)$$

donde:

 $E_E = \frac{E}{2} - E = emisividad efectiva.$ con una emisión y reflexión entre ambas superfícies incluída.

Los sistemas en los que el coeficiente de absorción es grande, comparado a la distancia entre las superficíes, exhiben un proceso de trans
ferencia de calor consistente en que cada elemento de volumen absorbe energía emitida de la parte adyacente de la muestra de temperatura más alta, y
la emite de tal manera que una transferencia neta de energía resulta de la
absorción y reradiación en la dirección del gradiente de temperatura. Para
un material completamente transparente (a = o) no hay interacción de mate
rial y radiación. Para un sólido opaco (a = co) la transferencia de calor
es enteramente por conducción. Para materiales intermedios, cada elemento absorbe una parte de la radiación incidente y también emite energía radiante. A elevadas temperaturas ésto puede contar como una parte considerable del calor total transferido.

Si consideramos un elemento de volumen y con un coeficiente de absorción a en un sólido teniendo un gradiente de temperatura, una cantidad I.a.v de la radiación de intensidad I, se absorbe por la parte calentada de la muestra, en el equilibrio se emite una cantidad igual de energía. Este proceso de absorción y reradiación, viene a ser importante en sólidos no - opacos, cuando se aumenta el nivel de temperatura. Para un sólido de espesor infinito, la conductividad térmica efectiva resultante de este proceso, está dada por la relación:

$$K_{\rm rad} = \frac{16 \, \text{T} \, \text{N}^2 \, \text{T}^3}{3a}$$
 ---- (7)

у:

$$q = -K_{rad} \Lambda \frac{dt}{dx}$$
 ---- (8)

Puesto que la transferencia de calor por este proceso es proporcional a la tercera potencia de la temperatura, e inversamente proporcional al coeficiente de absorción, es un proceso importante a temperaturas moderadas (500 - 1000 °C) para vidrios y cristales simples y a altas temperaturas (arriba de 1500°C) para óxidos refractarios translúcidos. La conductividad aparente de cristales simples decrece a un mínimo y despues se incrementa como resultado del efecto de transferencia de calor por radiación. La titania (TiO₂) policristalina tiene un coeficiente de desparramamiento mucho mas alto y, consecuentemente el efecto del proceso de radiación, viene a ser importante hasta que se alcanzan temperaturas mucho más altas.

CONDUCTIVIDAD TERMICA DE LOS VIDRIOS.

De la misma forma en que una estructura cristalina muy desordenada, así como la de la composición (Th₁U)O_{2+x} tiene una baja conductividad térmica que es casi independiente de la temperatura, los vidrios con su estructura completamente no cristalina está establecido que tienen una trayectoria libre media para los fonenes que está limitada por la estructura desordenada a un valor del orden de la separación interatómica. Este valor de la trayectoria libre medía es independiente de la temperatura, consecuentemente la conductividad térmica para vidrios es baja, incrementan do ligeramente con la temperatura.

El efecto de cambiar de una estructura cristalina a una estructura desordenada, es ilustrado por el efecto de una radiación de neutro nes sobre un cristal de cuarzo. La radiación desorganiza el material cristalino hasta perder con excesiva radiación todas las trazas de cristalinidad y la estructura se torna similar a la encentrada para un vidrio de silice. Los pasos intermedios en el proceso de radiación son acompañados por de crementos en la conductividad térmica. Estes cambios corresponden al progresivo incremento del desparramamiento de fonones, debido al desplazamiento de átomos en la estructura y a una consecuente disminución de la trayectoria — libre media de los fonones.

El principal proceso de transferencia de calor a elevadas - temperaturas a través de vidrios (arriba de alrededor de 500°C) es el de -- conducción de energía radiante mostrado por el rápido incremento en conductividad térmica con la temperatura. Esto significa que para altas temperaturas, la conductividad efectiva es alta, puesto que el coeficiente de transmisión es normalmente alto en vidrios.

La fase vitrea silico a normalmente presente en los materiales cerámicos quemados como una líga material tiene un valor de conductividad térmica similar al del vidrio sílice-óxido de sodio-óxido de calcío y al de sílice fundida.

CONDUCTIVIDAD TERMICA DE LOS MATERIALES CERAMICOS MULTIFASE.

Casi todos los materiales cerámicos están compuestos de --

mezclas de una o más fases sólidas con una fase porosa. La conductividad - térmica resultante de esta mezcla depende del arreglo particular de las fases presentes.

El arreglo más simple es un sistema de dos fases en el cual hay una orientación regular de materiales y una estructura de losas paralelas como la que se ilustra en la fig. III-la. Otras distribuciones idealiza das ilustradas son:

- b) una fase mayor contínua con inclusiones esféricas de una fase secundaria y
- c) Partículas aproximadamente esféricas de una fase mayor discontínua en una fase contínua secundaria.

La conductividad térmica para un arregio del tipo de la fig. III-la. depende de la conductividad relativa de los dos materiales y de la dirección del flujo de calor. Si el flujo de calor es paralelo al plano de las losas, se tiene un arreglo equivalente al de un circuito electrico parale lo. Todas las placas tienen el mismo gradiente térmico y la mayor parte -- del flujo de calor es a través del mejor conductor, así la conductividad es-tá dada por:

donde: V₁, V₂ = fracción en volumen de cada componente.

En este caso la conducción de calor es dominada por el mejor conductor, y - si K_1 es mucho mayor que K_2 , entonces K_m es aproximadamente igual a V_1 K_1 . En contraste, si las losas tienen un arreglo normal al flujo de calor, son equivalentes a un circuito electrico en serie. El flujo de calor a través de cada losa es igual, pero les gradientes de temperatura son diferentes y

la conductividad total está dada por:

$$\frac{1}{Km} = \frac{v_1}{K_1} + \frac{v_2}{K_2} - - - - - (10)$$

$$Km = \frac{K_1 - K_2}{V_1 - K_2 + V_2 - K_1} - - - - - - (11)$$

En este caso la conducción de calor es dominada por el conductor más pobre y si K_1 es mayor que K_2 , Km es aproximadamente igual a K_2/V_2 .

La estructura ilustrada en la fig. III-lb, es idealizada pero es buena aproximación para una mezcla con menos de aproximadamente 10% - de una segunda fase dispersada. Para concentraciones mas altas es esencial usar ecuaciones derivadas para inclusiones esféricas al azar o partículas - esféricas separadas. Relaciones aplicables a esta mezcla han sido derivadas por varios autores de la relación de Maxwell-Eucken; para una matriz - contínua, con una conductividad $K_{\rm C}$ y con una fase esférica dispersada $K_{\rm d}$; la conductividad de la mezcla está dada por:

$$K_{m} = Kc \frac{1 - \frac{Kc}{Kd}}{2 \frac{Kc}{Kd} + 1} - (13)$$

$$1 - Vd \frac{\frac{Kc}{Kd}}{\frac{Kc}{Kd} + 1}$$

Cuando Ko co mucho mayor que Kd. entonces:

$$K_m = K_C = \frac{1 - Vd}{1 + \frac{Vd}{2}}$$
 ---- (14)

Y si Kc & Kd, entonces:

$$K_m = K_C - \frac{1 + 2Vd}{1 - Vd} - - - - - - - (14)$$

Una ecuación general empírica que puede ser usada para una variedad de mezclas es:

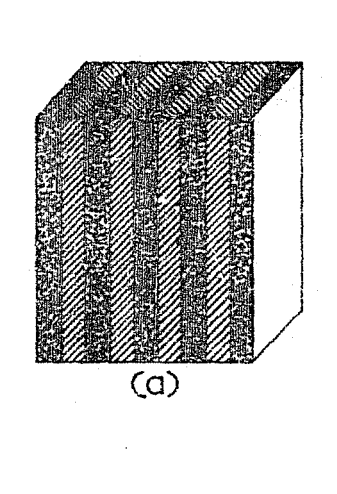
$$K^{n} = Vi Ki^{n}$$
 ---- (15)

donde: n = es un exponente entre + 1 y - 1.

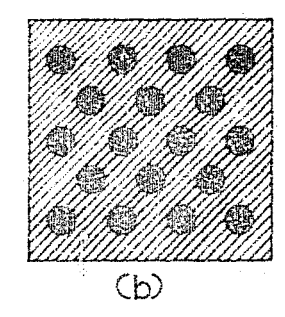
Vi= fracción de volumen ocupada por la fase i.

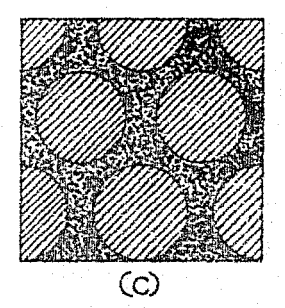
Las correlaciones empíricas de datos experimentales frecuentemente se hacen más simples usando la Ec' 1: con un exponente correspondiente a los resultados experimentales.

Los resultados en sistemas particulares dependerán de los detalles de la microtextura.



- (a)-Placas Paralelas.
- (b). Fase Continua Mayor.
- (c). Fase Continua Menor.





TESIS PROFESIONAL

F.Q. Fig-III-1.

1970

CONSUCTIVIDAD TERRICA EN SISTEMAS IDEALIZADOS DE DOS FASES.

FERNANDO MONREAL HERNANDEZ

LA POROSIDAD DE LOS MATERIALES CERAMICOS.

Antes de 1939, Austin J.B. (2) determinó de acuerdo con los resultados obtenidos de sus investigaciones que las principales variables - que afectaban la conductividad térmica de materiales cerámicos y no metálicos eran:

- 1) El espacio hueco total
- 2) La composición química
- 3) La temperatura de servicio
- 4) El tiempo y temperatura de quemado.

Además (21) de las fases sólidas presentes, casí todos los materiales cerámicos contienen una cierta porosidad. El efecto de la porosidad sobre la conductividad térmica de un material, depende de la conductividad - de los poros. A hajas temperaturas la porosidad tienen una conductividad -- térmica mas baja que para cualquiera de las fases sólidas.

Francl y Kingery (16) estudiaron el efecto de los poros iso métricos aproximadamente esféricos y de poros cilíndricos asimétricos sobre la conductividad térmica de alúmina, grafito y niquel; encontrando que la - orientación del poro afectó profundamente las determinaciones para una porosidad determinada. A temperaturas alrededor de 500°C la conductividad de una muestra porosa en cualquier dirección es igual a la conductividad del - sólido por uno menos la fracción porosa:

$$Ep = Es (1 - Pc) - - - - - - (16)$$

donde:

R_p * conductividad térmica de la muestra porosa.

Ks = conductividad térmica del sólido.

Pc * fracción porosa.

Sin embargo, si la fase porosa es contínua como aislantes fibrosos, la conductividad total sigue laEc. Il y la conductividad real del
poro debe ser considerada. Además de la conductividad del aire presente, -(la convección sólo es importante en poros de varios milímetros en diámetro),
demostrado por Waddams A.L. (41), la radiación a través de los poros contri
buye a la transferencia de calor a elevadas temperaturas. Así mismo, Loeb (24) estableció que la conductividad térmica de un material poroso es debida a los procesos de conducción y radiación, presentando en su teoría la re
lación de la conductividad efectiva a la conductividad del material sólido,
a la emisividad de la superfície de los poros y a la medida, forma y distribución de los mismos.

La conductividad efectiva de una fase porosa puede ser calculada cuando el gradiente de temperatura es pequeño. En la Ec. 6, el término $(T_1^4 - T_2^4)$, puede ser factorizado a: $(T_1 - T_2)$ $(T_1 + T_2)$ - - - - - $(T_1^2 + T_2^2)$, como el gradiente es pequeño, $T_1 + T_2$ es aproximadamente igual a 2Tm, y $T_1^2 + T_2^2$ será también aproximadamente $2T^2$ m, donde m es la temperatura media. De la Ec. 6:

De tal forma que la transferencia de calor es proporcional a la diferencia de temperaturas para pequeñas diferencias, a un nivel específico. Si la - - transferencia de calor es considerada al través de una cavidad plana con - lados paralelos y espesor dp, una conductividad efectiva puede definirse - por la relación:

$$q = -K_{eff} \wedge \frac{\Delta t}{dp} - - - - - (18)$$

Comparando las ecuaciones 17 y 18 podemos obtener una relación para la conductividad efectuva:

K eff = 4 dp
$$\eta^2$$
 σ E_E $Tm^3 - - - - - (19)$

El efecto de radiación sobre la conductividad es directamente proporcional a la medida de poro y a la tercera potencia de la tempe
ratura. Consecuentemente poros de gran tamaño contribuyen a incrementar la
conductividad a elevadas temperaturas; poros de medida prequeña permanecen como buenas barreras al flujo de calor.

El efecto total de porosidad sobre la conductividad también depende de la emisividad, la cual está en un margen de 0.3 a 0.5 para la mayoría de los materiales óxidos, mientras que para carburos y grafito es de 0.7 a 0.9.

ranaño de poro se desarrolla de acuerdo a lo anterior; los poros pequeños

mente incrementar la conductividad a elevadas temperaturas. Consecuentemente, el tamaño de poro es particularmente importante como un rasgo característico de la microtextura en la determinación de las propiedades de transferencia de calor a elevadas temperaturas. Para un óptima resistencia térmica es deseable tener los poros pequeños y la fase porosa contínua. Esto es la razón de la dificultad en la manufactura de materiales refractarios aislantes satisfactorios para altas temperaturas, pues los poros finos en este tipo de arcillas refractarias se ocluyen a elevadas temperaturas. Para hacer un producto estable el tamaño de poro tiene que ser moderadamente grande y consecuentemente las propiedades aislantes son menos satisfactorias — para el rango de elevada temperatura.

Barret, Vyse y Green en un estudio (4) (5) sobre la influencia de la textura sobre el poder de aislamiento o conductividad térmica de materiales aislantes, concluyen que también en los sólidos porosos son de gran importancia la proporción, forma, orientación y continuidad de los espacios vacios y que para una linea de materiales la conductividad térmica es proporcional a la porosidad. De las medidas de conductividad térmica y permeabilidad al aire sobre 13 calidades de (5) ladrillos aislantes, en el sentido perpendicular a ambas caras de 229 X 114 mm (9 X 41/2- pulg.) y -- 229 X 76 mm (9 X 3 pulg) de los mismos, se concluyeron que estas propiedades se encuentran interrolacionadas.

En la determinación de la conductividad térmica de materia les cerámicos complejos que contienen gran número de fases más la perosidad,

se obtienen mejores resultados determinando la conductividad de la fase so lida de acuerdo con la distribución de fase y considerando entonces la estructura y distribución de la fase porosa presente y su conductividad efectiva. Estas variaciones dan un amplio rango de conductividades térmicas para productos cerámicos dependientes de su composición y microestructura.

A temperaturas (27) atmosféricas, la conductividad térmica de un vidrio es considerablemente menor que la del material cristalino de la misma composición. Con el incremento de temperatura, la conductividad de vidrios tiende a aumentar, en tanto que la del material cristalino tiende a decrecer. Sin embargo, en cuerpos refractarios constituidos de agregados cristalinos con una cantidad l'hitada de vidrio, este efecto es a menudo obscurecido por otros factores.

La conductividad de un refractario en servicio a altas tempera turas puede cambiar como resultado de una reacción química, la cual forma una fase líquida o soluciones sólidas.

Estos factores de estructura, dependencia con la temperatura y cambios posibles durante el uso, deben s considerados en el desarrollo y aplicación de materiales cerámicos como conductores o aislantes térmicos.

EFECTO DE LOS GASES EN LAS ATMOSFERAS DE TRABAJO SOBRE LA CONDUCTIVIDAD DE REFRACTARIOS.

Young R.C., Hartwing F.J. y Norton C.L. (45) han estudiado la forma en que la conductividad térmica efectiva de refractarios porosos puede ser substancialmente cambiada por el caracter del gas en la atmósfera en la cual son empleados. Esto es de considerable importancia en muchas áreas, así como en la industria petroquímica y el diseño de hornos metalúrgicos de tratamiento térmico donde los refractarios son usados en una amplia variedad de gases diferentes al aire. Los materiales probados por los investiga dores anteriormente mencionados, fueron cuatro tipos de ladrillo aislante y uno denso, todos a base de caolín, en atmósferas de argón (un gas de baja - conductividad), helio (un gas de alta conductividad) y aire.

NonKen, Wygant y Crowley han investigado y hecho medidas sobre refractarios comerciales en gases diferentes al aire. NonKen investigó ladrillos aislantes, concretos refractarios y polvo de MgO en gas "crakeado" para ciudad y gas nitrógeno. Wygant y Crowley, investigaron la conductivi dad térmica de concreto refractario en helio a diferentes presiones.

Como conclusión de diversos trabajos estudiados, puede decirse que, atmósferas ricas en hidrógeno y helio pueden incrementar radicalmente las conductividades térmicas de refractarios porosos. A bajas presiones y temperaturas la magnitud del efecto, se presume que depende de la composición del gas y la estructura del refractario. A elevadas presiones el efecto es mucho mayor para los mismos materiales, tal vez debido a la rotura de las paredes de algunas celdas y consecuentemente incremento de la permeabilidad del gas.

La conductividad térmica del hidrégeno es aproximadamente siete veces mayor que la del sire. Consecuentemente, la presencia de este gas en los poros de un producto incrementa la velocidad de flujo de calor a través del refractario. Con una atmósfera de 100% de hidrógeno, el flujo de - calor a través de un ladrillo aislante u otros refractarios con una porosidad similar, sería dos y media veces la de una atmósfera de aire. A bajas concentraciones de hidrógeno, el efecto sería mener, siendo la relación casi directamente proporcional al porcentaje de hidrógeno presente.

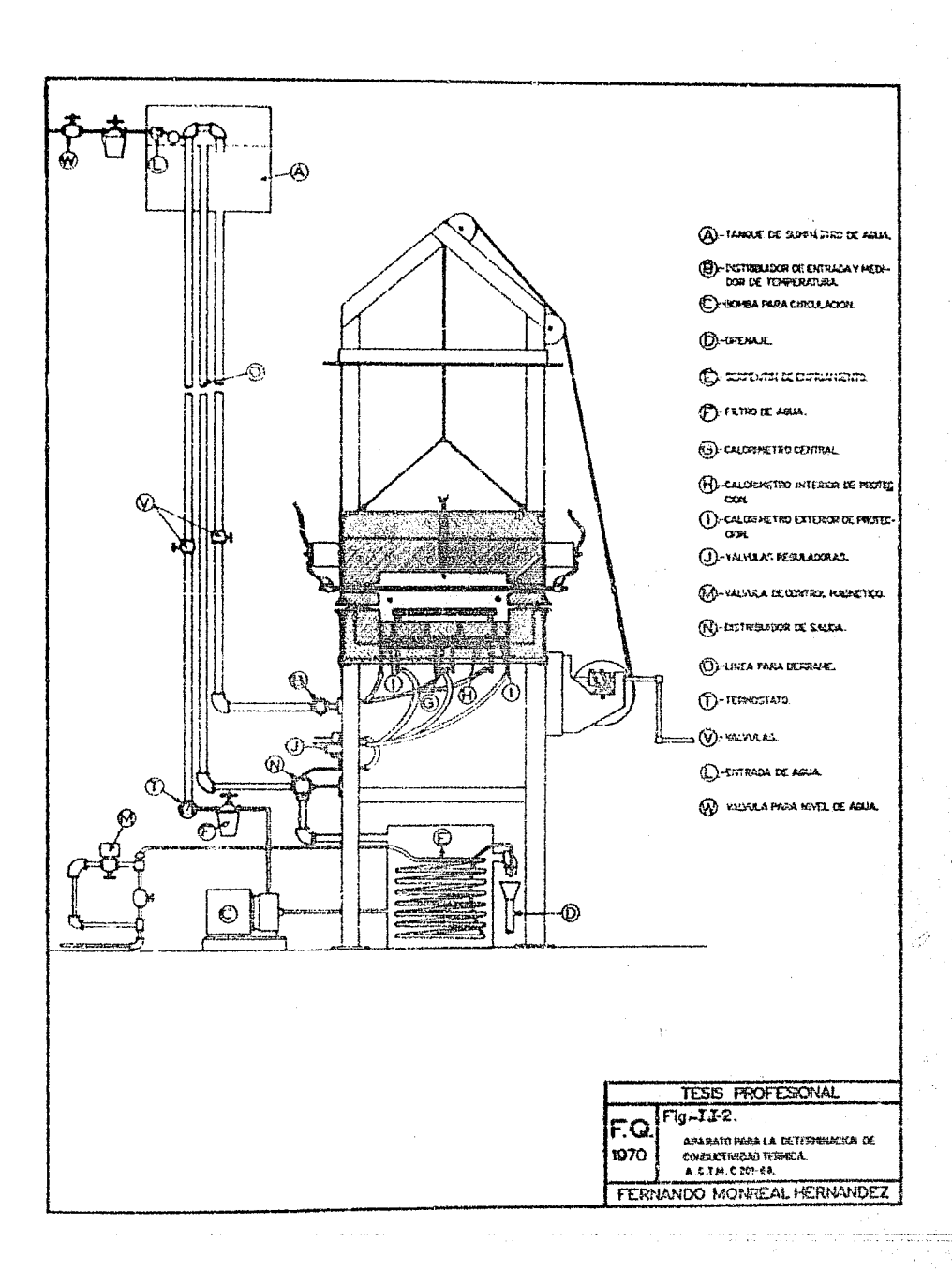
Las ecuaciones de Loeb (modificada), Ribaud, Russell y Eucken (44), parecen producir resultados correctos con error experimental para los efectos de atmósferas altamente conductoras, sobre las conductividades térmicas de refractarios porosos.

METODOS Y APARATOS PARA MEDIR LA CONDUCTIVIDAD TERMICA.

La mayor parte de la pruebas a elevadas temperaturas sobre la conductividad térmica de refractarios han sido realizadas ajustando un flu jo uniforme paralelo de calor, normal a las caras de una placa. La cantidad de calor fluyendo, es medida por un calorímetro de agua y el espesor y área de la muestra son conocidos y puede decirse que varían para cada dise no, variando también la forma de medición de las temperaturas de cara fría y cara caliente en la muestra.

No es fácil establecer un flujo uniforme por medios sencillos y puede alcanzarse solamente tomando cuidadosas prevenciones. Además, las temperaturas sobre los planos isométricos deben ser leídas con mucho cuidado. Al mismo tiempo un flujo de equilibrio debe ser establecido para una temperatura de cara caliente constante por un intervalo de tiempo largo. — Quizás ninguna otra medida física es acosada por tantas dificultades. Los trabajos por Norton (29) y Patton y Norton (31) son una excelente discusión acerca de estos factores, sus errores y su corrección.

En la fic. No. III-2 se describe un aparato del tipo menciona do, el cual fué primeramente construído en el laboratorio de refractarios



de Babcock and Wilcox Company y posteriormente adaptado por el "létodo Standard del ASTM C 201-47. Las características especiales de este aparato son la fuente de abastecimiento de agua a temperatura constante, el control de temperatura del horno para mantener la temperatura en una corrida de 24 horas con una variación de ± 2°F (aprox. 1°C), y los pasos de flujo en el calorímetro.

A continuación se describen las principales características de los aparatos diseñados por algunos investigadores, basados en el arreglo -- descrito.

Antes de 1935, Filolenko y Finck (14), realizan pruebas en un aparato calentado con resistencias sobre materiales tanto de baja como de alta conductividad, el cual podía operar hasta 1100°C, sin embargo, en pruebas sobre materiales similares e inclusivo los mismos, se obtienen discrepancias hasta de 50 a 106%, por lo que se ha corregido con objeto de obtener un verdadero equilibrio térmico permitiéndose además en el nuevo aparato un fácil reemplazo, tanto de los elemento calentadores como de los termopares. Fué publicado en 1937 en el Journal of the American Ceramic Society (15).

Halm y Lapoujade (19), obligados por el espacio de que disponían en su laboratorio, diseñaron un aparato compacto, el cual usa muestras de 110 X 110 X 60 mm., una superficie de la cual se calienta por una resistencia de Kanthal, mante iendo sobre la otra un calcrímetro de açua. Un anillo de protección hecho del mismo refractario se acopla al conjunto conuna sección separada del calcrímetro en contacto con el. Una exactitud del 12% se obtiene sobre una misma muestra.

En 1950 se publicó (26) con el nombre del método de la "Placa Plana" el diseño de un nuevo aparato, el cual había sido probado exitosamente en la determinación de valores de conductividad para ladrillos aislantes, de sílice y de cromo magnesita a temperaturas medias de 1100°C. El aparato utiliza una placa de prueba de 229 x 229 x 76 mm. (9 x 9 x 3 pulg.) aislada totalmente. El medio de calentamiento se localiza inmediatamente — abajo de la sección de prueba y un calorímetro de agua arriba del aislamien to cubriendo la parte superior de la sección de prueba. El diseño lo constituyen termopares y calentadores periféricos para minimizar las pérdidas por calor y los efectos laterales en el block de prueba. Los medios calentadores también en este caso fueron fabricados de Kanthal y 16 gauge, resis tencias que fueron operadas con éxito hasta 1200°C.

El diseño de un horno para ser empleado a temperaturas de - 200 a 1540°C es publicado en 1954, en el cual un horno electrico provee una fuente uniforme de calor sobre la cara caliente de un ladrillo rectangular de 229 mm. (9 pulg.) y un calorímetro de cobre con sus protecciones se co-loca en la cara de menor temperatura (7).

Clements (12) presenta un aparato que utiliza placas de -
229 x 229 x 76 (9 x 9 x 3 pulg.) para temperaturas hasta de 1350°C, emplean

do un calorímetro de agua, pretende conseguir un flujo de calor normal a través

del panel con el empleo de calentadores periféricos.

Sutton (39), publica en 1960 un aparato diseñado para medir la conductividad térmica de materiales cerámicos y metales a 1200°C, ya sea por un método directo o por el método de comparación. Este aparato fué diseñado originalmente por G.B. Wilkes, profesor de ingeniería del M. I. T., — efectuando Sutton, varias modificaciones sobre él, incluyendo el regulador de temperatura de agua y la forma de conectar los termopares en la unidad. Esencialmente requiere 4 componentes básicos:

- 1) Una fuente de agua a temperatura constante a una velocidad de flujo constante.
- 2) Una fuente de calor para mantener la temperatura constante.
- 3) Un calorímetro de agua.
- 4) Un sistema para registrar el gradiente de temperatura en la muestra y cambio de temperatura en el calorímetro.

Un flujo constante se mantiene por el cabezal de un recipien te localizado 3.05 m (10 pies) arriba del calorímetro, fluyendo el agua a través de 15.25 m (50 pies) de tubo de cobre enroscado en el interior de un baño de agua a temperatura constante. La fuente de calor de temperatura — constante es un block de grafito que tiene cuatro elementos de calentamiento eléctrico de carburo de silicio, conectados en serie, empleando un regulador de voltaje para controlar la fuente de 115 volts. c.a. hos transformadores variables conectados en paralelo, controlan la corriente que se minde por dos amperímetros; la temperatura del block puede mantenerse con 0.5°C de exactitud en un periodo de 48 horas a temperaturas abajo de 300°C, mien-

tras que a temperaturas considerablemente altas (1000°C), se registran des viaciones hasta de 5°C, en un periodo de 12 horas. La muestra es usualmente una varilla de 229 mm (9 pulg.) de longitud y 19 mm (3/4 pulg.) de diámetro, esta encaja en un hoyo del block calentador. Un cilindro protector concentrico a la muestra y del mismo material, ayuda a mantener un calor unidireccional a lo largo del eje de la muestra. Un calorimetro de cobre se coloca sobre el extremo menos caliente de la muestra, en el qual puede esta conectarse perfectamente, para preveer un buen contacto térmico. Dos termopilas (5termopares en serie) de cobre - constantan, se usan para medir la diferencia de temperatura en el agua entrando y saliendo del calorimetro. -La precisión observada de este aparato, es del 3% en el rango de temperaturat de 30 a 300°C y alrededor de 3 a 10% en el rango de 300 a 1200°C; siendo el tiempo necesario para una corrida de 10 a 24 horas para temperaturas de bloque de calentamiento de 400°C, mientras que se requieren de 24 a 48 hrs. para alcanzar el equilibrio a 1200°C y para cubrir totalmente el margen de temperaturas hasta 1200°C deben realizarse dos corridas requiriendo de 35 a 72 horas.

Desde 1962, Ruh y McDovll (36), han venido efectuando bastantes estudios sobre la conductividad de materiales refractarios de alta alumina, arcilla refractaria, sílice, cromo, magnesita, zírconio, carburo de silicio y ladrillos aislantes en un aparato con una modificación al de ASTM C 201-47, cubriendo temperaturas entre los 200 y 2000°F. Esta modificación fué motivada por el hecho de que el aparato iba a ser instalado en un segundo piso, por lo que sería muy molesto usar una columna de agua, aplicando seria de sería muy molesto usar una columna de agua, aplicando seria de sería muy molesto usar una columna de agua, aplicando seria muy molesto usar una columna de agua, aplicando seria de sería muy molesto usar una columna de agua, aplicando seria de seria muy molesto usar una columna de agua, aplicando seria de seria de seria muy molesto usar una columna de agua, aplicando seria de seria de

presión sobre un tanque para obtener una presión de agua constante, equivalente a 3.05 m.(10 pies) sobre la válvula del calorímetro. Por lo que se usó una válvula de control de diafragma para muntener la presión de agua en el calorímetro, ésta válvula requiere le sea suministrada una presión de aire a 1.4 Kg/cm² (20 lb/pulg.²), y regula la presión del agua de 0.21 a - 1.05 Kg/cm² (3 a 15 lb/pulg.²). Actualmente, la unidad opera a 0.53 Kg/cm² (7.5 lb/pulg.²), que equivale aproximadamente a 5.2 m de N20 (17 pies de - H20).

La conductividad térmica se mide también por otros sistemas, así un especimen cilíndrico es conveniente algunas veces, teniendose un método denominado del "tubo de prueba", en el cual la muestra cilíndrica se calienta interiormente por medios eléctricos y se mide la temperatura en sus caras, interior y exterior. En este sistema las pérdidas por calor en los bordes son minimizadas, ya que el área de las orillas es pequeña comparada con el área exterior, pero es difícil obtener refractarios de la forma apropiada. El método cilíndrico ha sido usado por Holler y otros investiga dores para pruebas a elevadas temperaturas.

El método Northrup, consiste en pasar un flujo uniforme lineal de calor a través de dos capas de refractario en contacto. Si la caida de temperatura se conoce a través de cada capa y la conductividad es conocida para un material, la conductividad del otro puede ser determinada,
ya que el calor transferido por ambos es el mismo, aplicándose la siguiente
ecuación:

Caida de Temp. en el especimen A
$$=\frac{K_B}{K_A}$$
 --- (20)

donde:

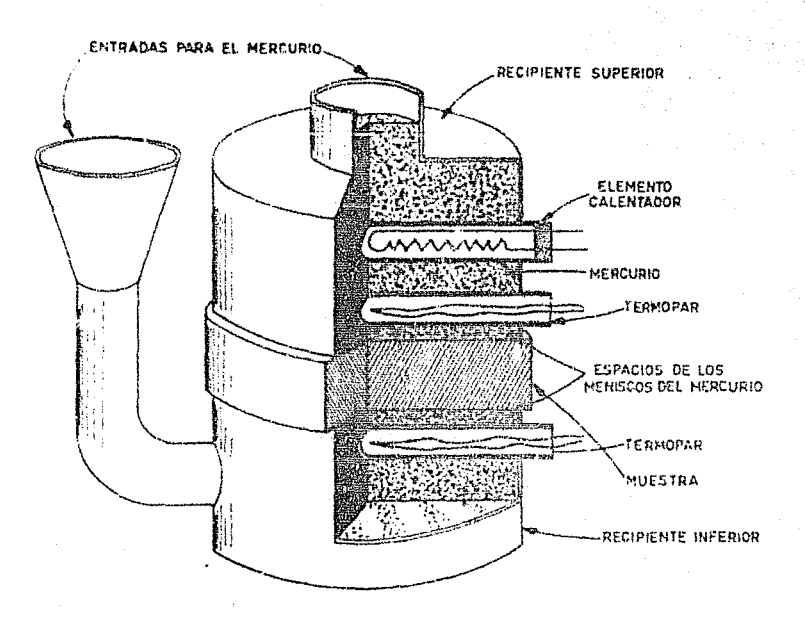
K, = conductividad térmica del material A

K_R ≈ conductividad térmica del material B

Dinger C., Kind A., Schutz W. v Dietzel A. (13) diseñaron un ins trumento que permite buena aproximación y rapidez en la medida de conductividades térmicas de materiales refractarios hasta 1400°C. El principio fun damental consiste en el uso de un cilindro hueco calentado. El cilindro está formado por siete u ocho discos del material de prueba colocados uno sobre el otro y barrenados a través de su centre para la inserción del elemento calentador. Este consiste de una barra de carbón rodeada de polvo de carbón (mineral) y colocado en un tubo de silimanita. El tubo se cierra con unas válvulas de diseño especial de grafito. Rodeando el cilindro hueco hecho con las piezas de prueba se coloca el calorimetro de agua, que consiste de dos compartimentos conectados por un pasaje espiral que sirve para medir el flujo de agua. La temperatura del egua se indica a la entrada y a la sa lida. Para medir la temperatura interior y exterior, la columna de muestras lleva insertados termopares de Pt - Pt/Rh, en las superficies interiores y de Ni - Ni/Cr en las exteriores. La relación de los radios de los cilindros tiene marcado efecto en la exactitud obtenida, siendo la relación adecuada de 4 (del radio exterior del cilindro al radio interior del mismo).

El calorímetro de Winckler (43) consiste de dos corazas esféricas concentricas de platino, es conveniente una muestra también esférica ajustado en el centro de la coraza interior. El calor se suministra electricamente al centro de la muestra. El calorímetro se encuentra dentro de un horno esférico eléctrico y la conductividad térmica se determina de las temperaturas tomadas del interior y exterior de la muestra cuando se ha alcanzado un régimen constante de fluje de calor. Con este aparato también el calor específico se puede obtener notando el aumento de temperatura de la muestra con una cantidad determinada de calor.

En 1964 con la finalidad de estudiar los efectos de radiación en materiales cerámicos. Bopp (6), desarrolló un método para medir la conductividad térmica. El empleo de éste aparato permite el uso de pequeñas muestras, las cuales son coloçadas entre contactos de mercurio; el bloque superior es calentado electricamente y el inferior se mantiene a una temperatura lo mas baja que sea posible, y la conductividad térmica se calcula de acuerdo a la potencia eléctrica requerida para producir una diferencia de -temperatura determinada entre los bloques. La resistencia del aparato en serie con el especimen es determinada comparando los resultados para especímenes de diferente espesor. Las limitaciones y fuentes de error del método, son definidas por Ioffe e Ioffe (42). La novedad de éste método es el uso de contactos de mercurio en lugar de los bloques de cobre empleados con el mismo principio. La exactitud observada es de 3 a 10% para conductividades del rango de 10⁻³ a 10⁻¹cal por seq. cm⁻¹°C. Las principales características de este instrumento se muestran en la Fig. III-3. El recipien te superior se sestiene en posición por unas bandas de hule, las cuales no se muestran. Los termopares se colocan soldados dentro de sus capuchones hechos de tubos de acero inoxidable de 1/16 pulg, de diámetro. El elemento calentador es un rollo de alambre de crumel, dentro de un pequeño tubo de



CELDA PARA DETERMINACION DE CONDUCTIVIDAD
TERMICA.

TESIS PROFESIONAL

F.Q. Fig.-III-3.
APARATO D
CONDUCTIV

APARATO DE BOPP PARA DETERMINAR-CONDUCTIVIDADES Y LOS EFECTOS DE RA DIACION EN MATERIALES CEPARIGOS.

THE WORLD WE DANNEY

vidrio. La conductividad térmica k, de una muestra delgada es dada pors

$$k = 3 (A/q - 1/h)^{-1} - - - - - - - - - 2 (21)$$

donne:

d * espesor de la muestra

A * Area de contacto de un lado de la muestra con mercurio.

q « es la potencia de calentamiento dividida por la diferen cia de temperaturas en el estado estacionario.

1/h w corrección para el gradiente térmico entre los termopares y las superficies del especimen.

Se ha usado un método diferente para determinar la conduct<u>i</u>
vided térmica haciendo uso de la ecuación de Fourier para flujo de calor no
uniforme.

Si se consideran las ecuaciones:

$$t = \frac{2 t_0}{\eta} / \frac{\chi}{2h \sqrt{\tau}} = e^{-\beta^2} d\beta \dots (22)$$

$$h^2 = \frac{k}{\rho c} \qquad (23)$$

Se notará que el valor de la difusividad h² puede ser determinado estudiando los cambios de temperatura en un material dado. Del valor de h, la conductividad térmica puede calcularse si la densidad y calor específico son conocidos, propiedades que no son difíciles de medir. Este nétodo ha sido efectuado practicamente aplicando a una superficie del material de prueba, una temperatura variando armonicamente. La temperatura es entonces registrada en el interior del sólido a varias distancias de la superficie y de estos valores se calcula h. Nótese que este método no requiere una medída de la cantidad de calor fluyendo. Por otro lado, se encuentran las mismas dificultades de los otros métodos de asegurar un flujo linear de calor.

Otro método de medida de éste tipo, consiste en computar la -difusividad midiendo el cambio de temperatura sobre el eje de un cilindro, -la temperatura exterior del cual es repentinamente variada apagando el sistema calefactor. Este método es conveniente para especimenes pequeños.

CAPITULO IV.

DESCRIPCION DEL APARATO Y PROCEDIMIENTO EXPERIMENTAL.

El aparato construído para la medición de la conductividad térmica de materiales refractarios, fué diseñado por Clayton y Whyman (11)
en 1965 en los Laboratorios de Investigación y Desarrollo, Lathom., en su sección de Refractarios.

La decisión de su construcción en México, obedeció a las necesidades del Laboratorio de Investigación, Desarrollo y el Control de Calj dad de los productos de Compañía Mexicana de Refractarios A.P. Green y la elección de este diseño, estubo determinada por las investigaciones y un estudio efectuado del mátodo en E.U.A. en los Laboratorios de Investigación – de A.P. Green Refractories Co. (40).

Fundamentalmente el aparato está constituído por un horno — que calienta electricamente una muestra de prueba en contacto con un calorimetro metálico. El aparato está total y debidamente aislado y el calorímetro protegido convenientemente para asegurar un flujo de calor estacionario, lineal y paralelo. El funcionamiento del aparato es gobernado por un sistema de instrumentación, pudiéndose programar las pruebas, controlar — eficazmente el proceso y registrar algunos datos.

El conocimiento de la caída de temperatura a través del ---

calorímetro, permite el cálculo de flujo de calor a través de éste, que es el mísmo que fluye a través de la muestra en estado estacionario, y de este valor y la caída de temperatura a través de la muestra, el valor de la conductividad térmica del material probado puede ser calculado.

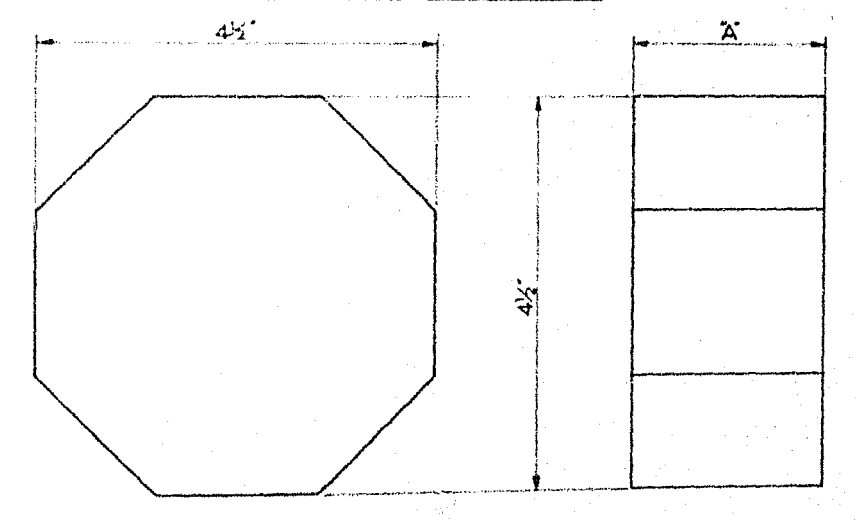
Las muestras de prueba utilizadas, fueron cortadas en forma octagonal, en lugar de los discos sugeridos por los diseñadores del método, por ser mas fáciles de obtener de ladrillos estandard, como se indica en la
Fig. No. IV-1. Puede verse que las piezas son octágonos de 48 mm (1 7/8 pulg.)
por lado, los cuales pueden ser cortados de piezas normales de fabricación de
229 x 114 mm. (9 x 4 1/2 pulg.), teniendo espesores adecuados. Estas forman
la cubierta superior de un horno de resistencias de carburo de silicio en forma de barras.

Un calorímetro metálico de 64 mm (2 1/2 pulg.) de diámetro y --33 mm (1 1/2 pulg.) de espesor es colocado en el centro de la superficie de
la muestra de prueba y está rodeado por dos anillos protectores aislados entre sí y del calorímetro. Este y los anillos protectores son del mismo metal, para el cual la conducti/vidad térmica es conocida con exactitud.

La comparación de resultados con los obtenidos por otros investigadores, ha mostrado suy buena concordancia.

A continuación de mencionan algunas de las ventajas que éste aparato puede ofrecer sobre el requerido por el método estandard de prueba-

ESPESORES DE	MUESTRA RECOMENDADOS				
Dimensión A	Materiales				
14	Material Alslante				
2	Material Refractario				



MUESTRA PARA EL APARATO DE CONDUCTIVIDAD TERMICA. DIMENSIONES Y FORMA

TESIS PROFESIONAL
F.Q. Fig.-IV-1.

NUESTRA EMPLEDA PARA LAS DETERMINA1970 CORES

FERNANDO MONREJAL HERNANDEZ

del ASTM, Designación C 201-68, Fig. No. 111-2.

- a) Procedimiento de operación más sencillo.
- b) El volúmen ocupado por todas las instalaciones necesarias es inferior.
- c) El diseño usado evita el complicado sistema de circulación de agua requerido por el aparato del ASTM:
 - No necesita de un cabezal para el suministro de agua al calorimetro a presión constante.
 - 2) No necesita de tanques de almacenamiento de agua.
 - No requiere bombas, filtros, válvulas y líneas de control y flujo de agua.
- d) Solumente una pieza de una forma se requiere del especimen de prueba y de dimensiones inferiores.
- e) Un procedimiento general es utilizado para las determinaciones tanto de ladrillos refractarios, como aislantes, plásticos refractarios o concretos.
- f) El cambio de muestras es mucho más sencillo y rápido.

Como ha quedado establecido anteriormente, el problema de la medición de conductividad térmica de materiales refractarios ha producido — una gran variedad de aparatos de diferentes tipos, en los cuales se ha perse guido una solución práctica. Muchos, aunque capaces de producir resultados precisos, son muy complicados para su uso en rutinas de laboratorio, mientras que otros, siendo suy simples, carecen de suficiente precisión.

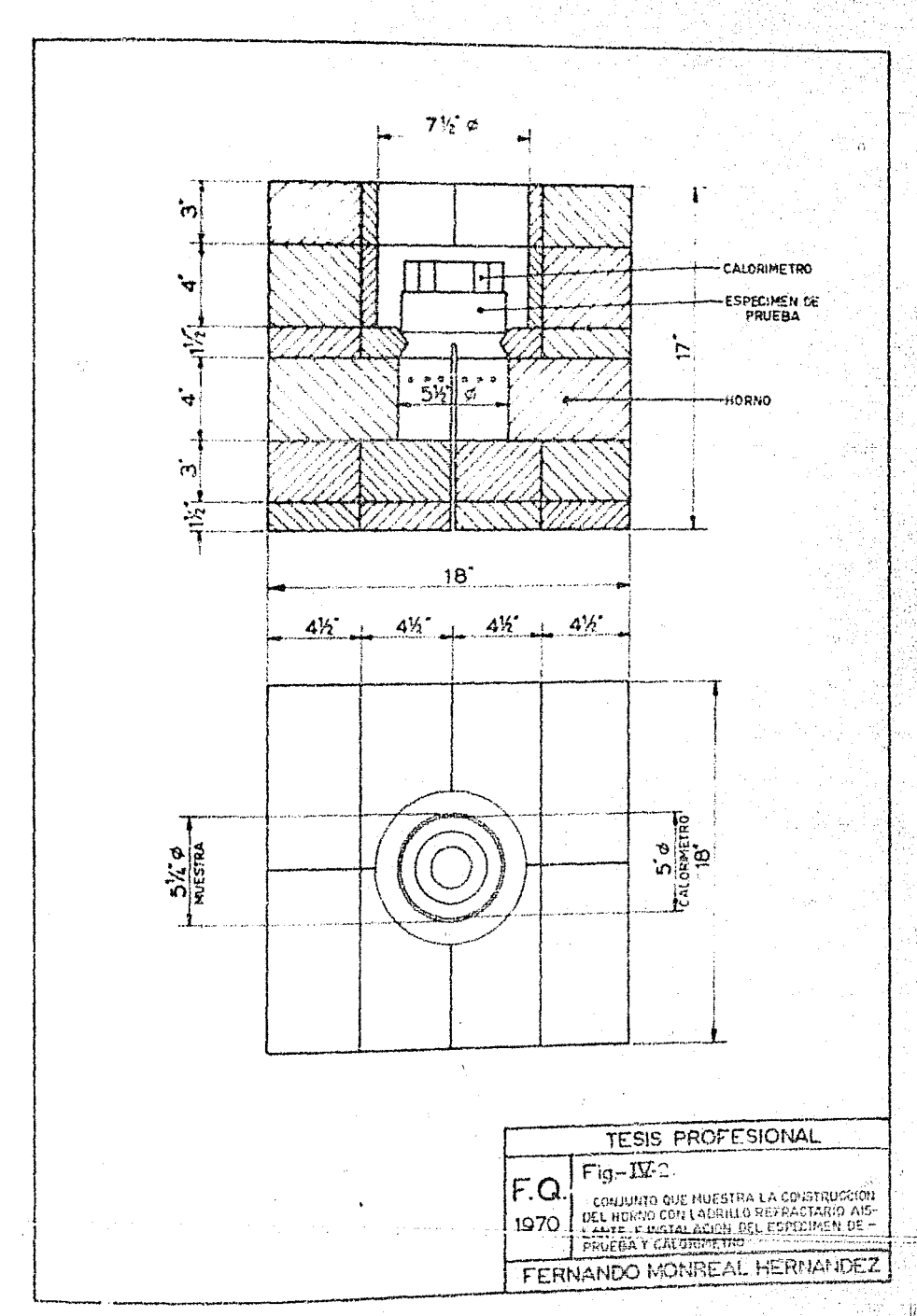
El método descrito en seguida, está basado en el principio usado por Griffiths y Challenor (17) y ha sido desarrollado específicamente para facilidad y simplicidad en su construcción y manejo, consecuentemente requiriendo demandas mínimas sobre el tiempo de operación. A pesar de lo anterior, suficiente exactitud es alcanzada para los propósitos normales. — Este aparato es adecuado para la investigación de productos refractarios des de el tipo de materiales aislantes hasta productos electrofundidos (de valores bajos y altos de conductividad térmica respectivamente) y para temperaturas de cara caliente de 300°C (572°F) a 1500°C (2732°C), siendo la cantidad de material requerido para las pruebas comparativamente pequeña.

Lo calentadores laterales y de protección existentes en varios diseños muy precisos pero complicados, han sido eliminados y la linearidad del flujo de calor a través de la sección relevante de la pieza de prueba se logra mediante un cuidadoso diseño. Para evitar dificultades inherentes en el balanceo de las velocidades de flujo en los aparatos con calorímetros de agua un sistema compacto metálico ha sido usado y para asegurar la linearidad del flujo de calor a través de esta último, un arreglo con un doble anillo protector es utilizado.

APARATO .--

El diseño del horno se muestra en la figura No. IV-2.

La fuente calorífica consiste de seis elementos de calentamiento de carburo de silicio con una zona efectiva de 178 mm (7 pulg.) de



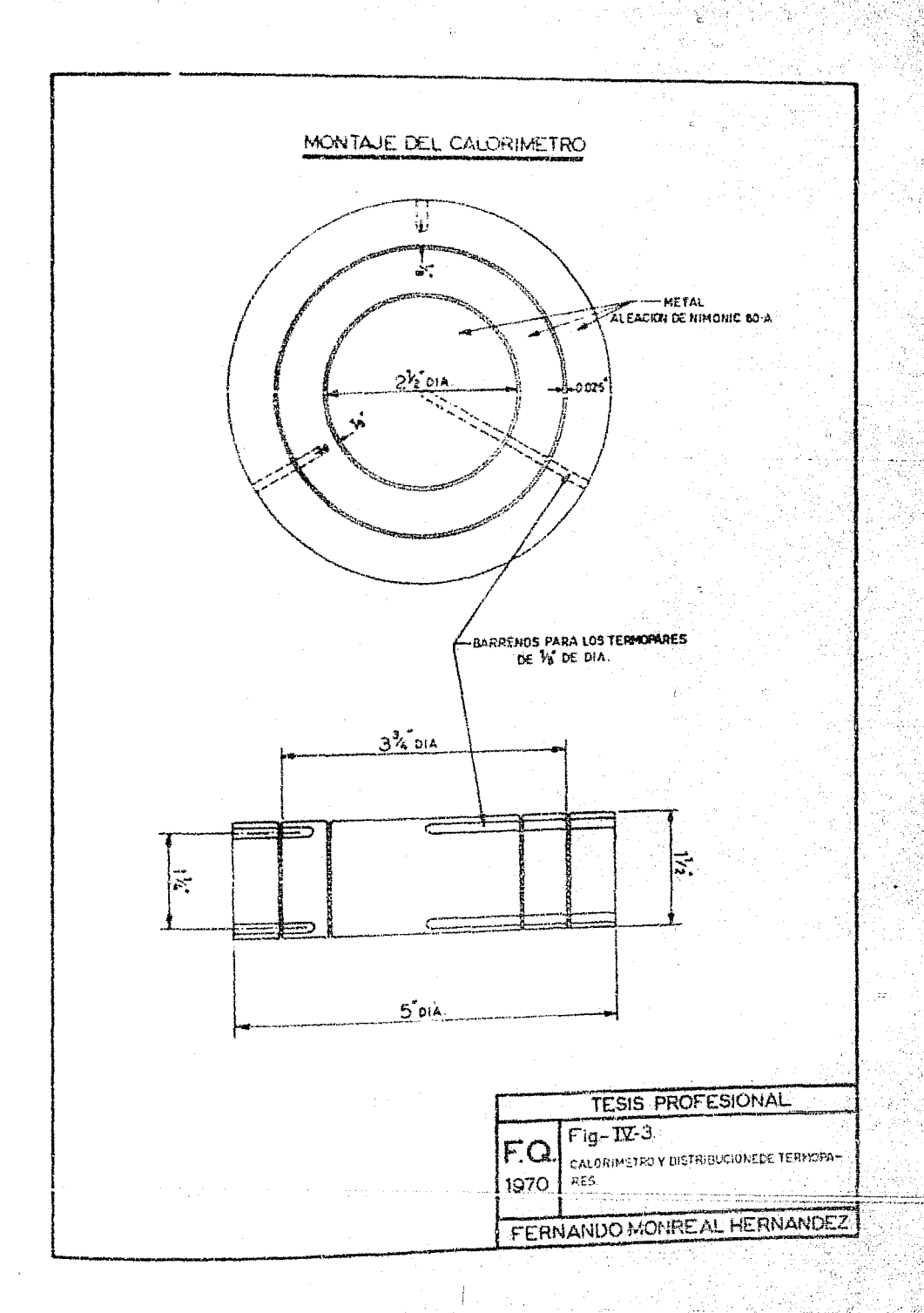
longitud y con una capacidad para disipar aproximadamente 2.5 k.v.a. La potencia es suministrada por medio de un autotransformador variable, operado con un controlador rectificador de silicio, gobernado por la señal (energía
de salida) de un termopar que sobresale a través de los elementos de calentamiento.

El horno es totalmente construído de ladrillo refractario - aislante del grupo 28 (para 2800°F) de aproximadamente 60-68% de porosidad, siendo recubiertas las caras calientes con un comento aluminoso.

Todos les termopares usados son de Platino/Platino, 13% de Rodio, excepto el del horno que es Platino/Platino, 10% de Rodio, y son calibrados cada uno contra otro antes de usarse. Los termopares insertados — en el calorímetro son revestidos con aisladores de alumina de doble perforación, de 3 mm de diámetro exterior, quedardo así ajustados muy bién en las perforaciones de 3.2 mm. (1/8 de pulg.) de diámetro barrenados en el metal. La f.e.m. producida es medida con un potenciómetro de alta precisión, capaz de leer exactamente hasta 0.001 m.v. para diferencias de temperaturas.

2000年,1900年,1900年,1900年,1900年,1900年,1900年,1900年,1900年,1900年,1900年,1900年,1900年,1900年,1900年,1900年,1900年,1900年,19

La elección del metal para la construcción del calorímetro fué importante, éste debe ser resistente a la oxidación a temperaturas arriba de 950°C (1742°F) y con una conductividad térmica exactamente conocida, con un rango tal que produzca una caída de temperatura conveniente en el uso de este aparato. Un material que satisface completamente estos requerimientos es la aleación "Mimonic 80 A", la cual ha sido empleada para este propósito. El montaje del calorímetro mostrado en 1º Tig. No. IV-3, consig



te en un bloque sólido calorimétrico de 64 mm. (2 1/2 pulg.) de diámetro,—
38 mm. (1 1/2 pulg.) de espesor, rodeado por dos anillos protectores concéntricos, del mismo material y espesor, separados uno del otro y del calorímetro por 1 mm. (0.025 pulg.), siendo rellenadas las hendiduras entre ellos
con papel de asbesto. Perforaciones de 3.2 mm. (1/8 pulg.) de diámetro son
taladradas como se muestra, para la inserción de dos termopares dentro de estos componentes para indicar la caída de temperatura en cada sección. Muy
importante es la exactitud del barrenado y maquinado en la manufactura del
calorímetro.

INSTRUMENTACION Y CIRCUITO ELECTRICO.

La Fig. No. IV-4 es un diagrama de bloques en el cual pueden verse la distribución y conexión de los instrumentos controladores y registradores que trabajan en el aparato construído.

La Fig. 1). IV-5 corresponde al diagrama eléctrico del parato.

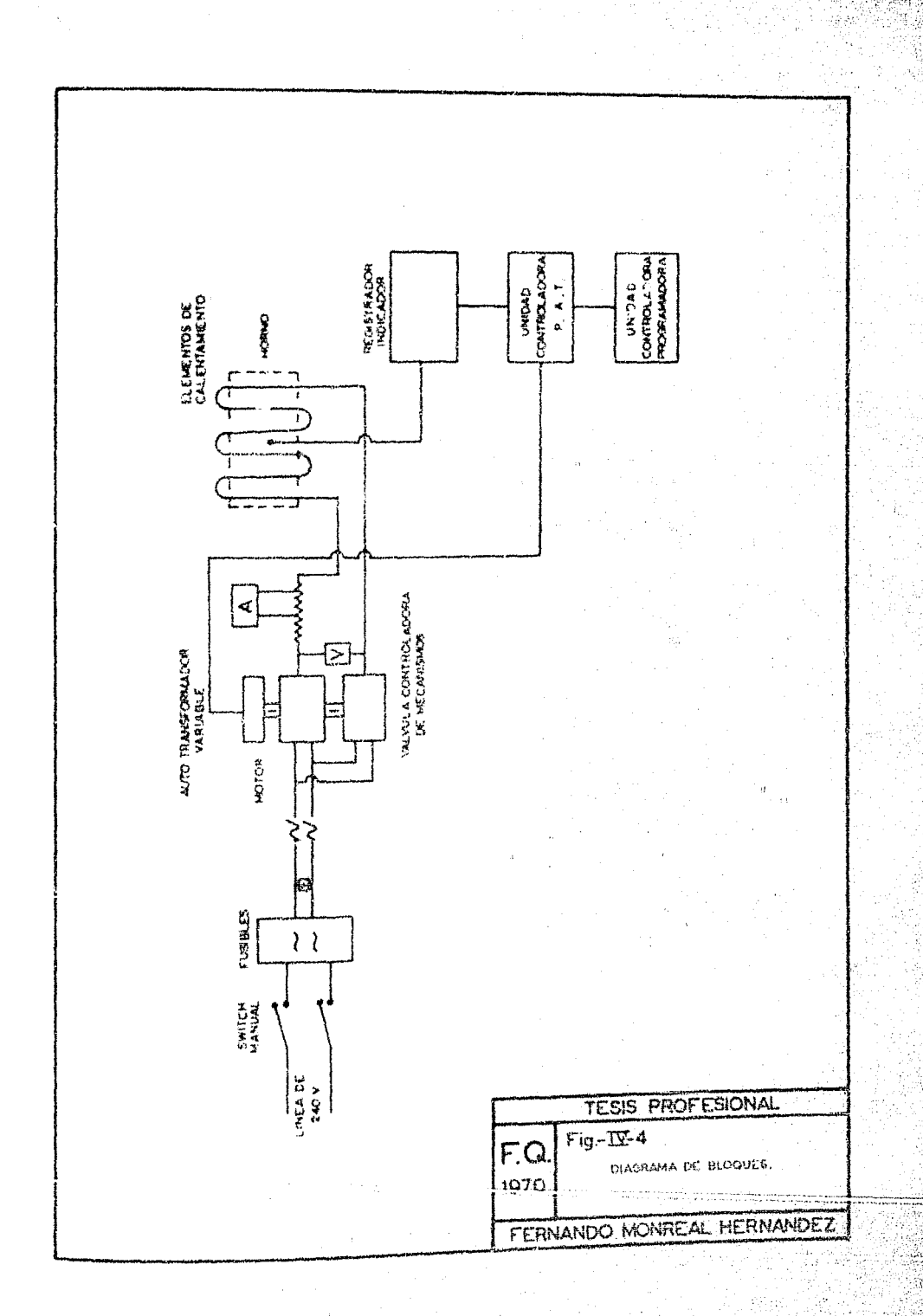
Descripción de la instrumentación del Aparato.

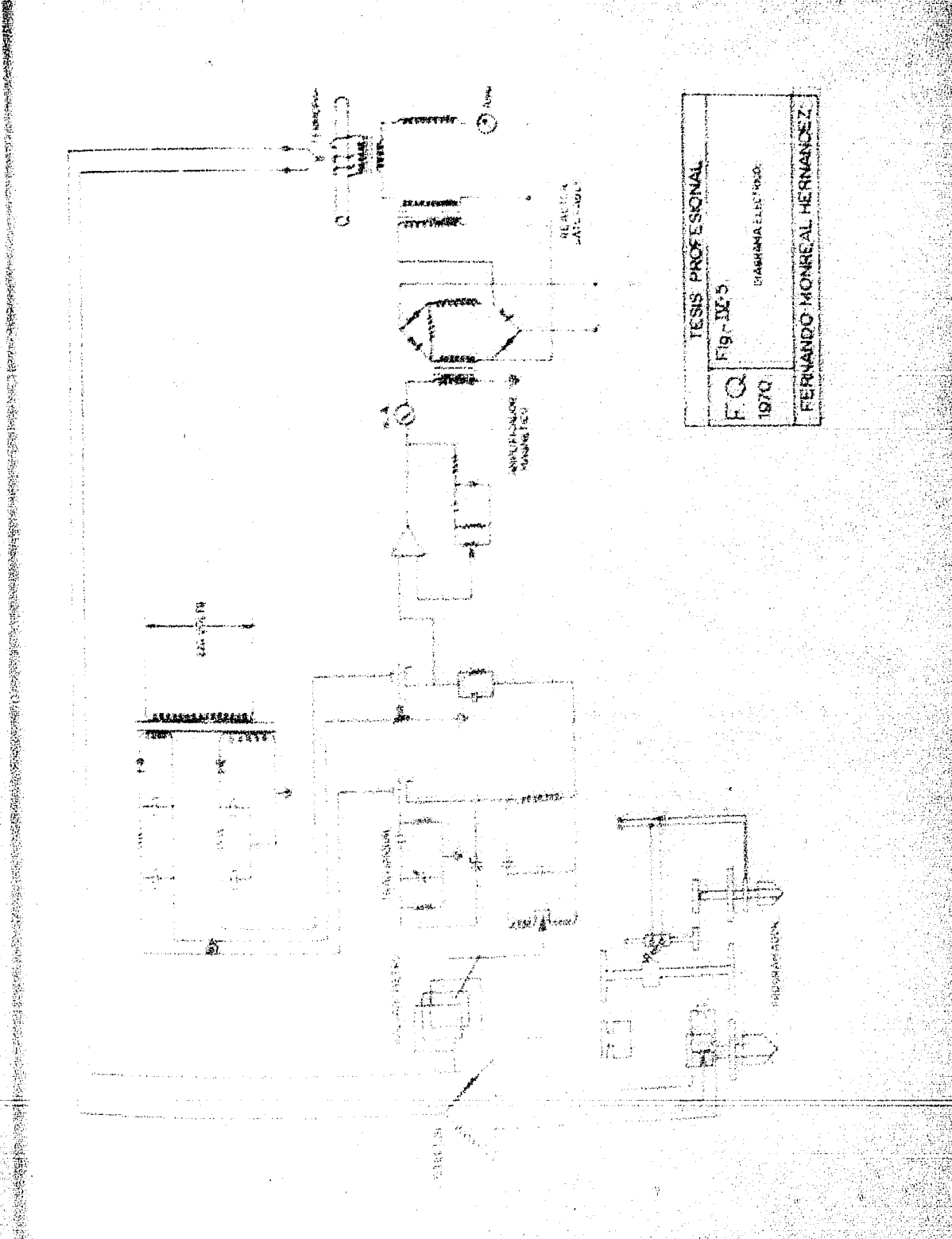
 Elementos de calentamiento: se emplearon 6 elementos conectados en serie con las siguientes características: Marca: Crystolon Est Rods.

Tipo: barras de carburo de silicio.

Pabricante: Norton Company.

Longitud total: 533 mm. (21 pulg.)





) . . .

- Longitud efectiva de calentamiento 175 mm. (7 pulg.) Liânetro: 10 mm. (3/6 pulg.). Sesistencia comingl: 3.71 ches.
- 2) Termopares: se usan termopares de Platino/Platino/13% --Rodic enfundados en aislantes de cerámica de doble crificio de 3 mm. de diámetro exterior para medir las temperaturas en la muestra y el calorimetro, y termopares de --Platino/Platino/10% Rodio para medir la temperatura del horno.
- 3) Controlador-Programador: se empleó un Unidad Controladora-Programadora Modelo 10170 de Leeds & Northrup.
- 4) Unidad Controladora-Posicionador: se instaló un P.A.T.
 (Position Adjusting Type: de tripe acción serie 60. fabricado por Leeds S Northrup.
- 5) Auto Transformador Variable: se usó una unidad de Leeds 6 Northrup Modelo D Serie: 1741255.
- 6) Conductor de Mecanismos: fué acoplada una válvula directora de mecanismos para control electrico de la Serie -10260 de Leeds 5 Northrup.
- 7) Registrador-Indicador: se instaló un Speedomax G. de - Lecás à Marthrup Modelo S, Serie 60,000.
- 8) Potenciónetro: para la lectura de las temperaturas ha side empleado un petenciónetro pertátil de alta precisión na. 8662 de Leeds 5 Northrup.
- 9) Selector de Seitches: un selector rotatorio de suitches No. 8248 de Leeds à Northrup.

DESCRIPCION DEL FUNCIONAMIENTO DE LA INSTRUMENTACION.

Inicialmente se inserta en la unidad programadora-controladora, la leva que contiene el programa de calentamiento al cual se someterá el proceso, acoplando los engranes requeridos para dar a la leva la velocidad de rotación necesaria para la que fué diseñada.

Una ver que son conectados los switches y accionado el encendedor que da movimiento al programa, la unidad programadora-controladora envía, de acuerdo con el programa inserta , una señal al posicionador, el cual regula la admisión de voltaje por medio del auto transformador variable, sujetando los elementos calentadores a mayor o menor voltaje, según sea el caso.

La unidad registrador-controlador lee e indica la temperatura en el horno, la cual de no estar en balance o equilibrio con la del programa en la unidad programadora, gobierna al posicionador con tendencia a balancearla, el que volverá a actuar sobre el auto transformador variable permitiendo mayor o menor voltaje sobre las resistencias de carburo de silicio, hasta balancear el conjunto.

- vargedra, ,

DATOS DEL PROGRAMA DE LA UNIDAD

PROGRAMADORA - CONTROLADORA.

Registrador

Speedomax G de Leeds & Northrup Modelo S. Serie 60,000

Rango de registro

0 - 1200°C

Elemento primario

Termopar de Platino/Platino-10% Rodio

Velocidad de la carta de registro

1 cm/min.

Duración

150 hrs.

Iniciación del programa en

178°C

Mantener en

178°C por 24 hrs.

Incrementar a

420°C en 6 hrs. (25°C X hr.)

Mantener en

420°C por 24 hrs.

Incrementar a

615°C en 6 hrs. (30°C x hr.)

Mantener en

615°C nor 24 hrs.

Incrementar a

839°C en 6 hrs. (35°C x hr.)

Mantener en

330°C por 24 hrs.

Incrementar a

1040°C en 6 hrs. (35°C x hr.)

Mantener en

1040°C por 24 hrs.

the c bor he man

Decrecer a

25°C en 6 hrs. (170°C x hr.)

estención del programa en

25°C

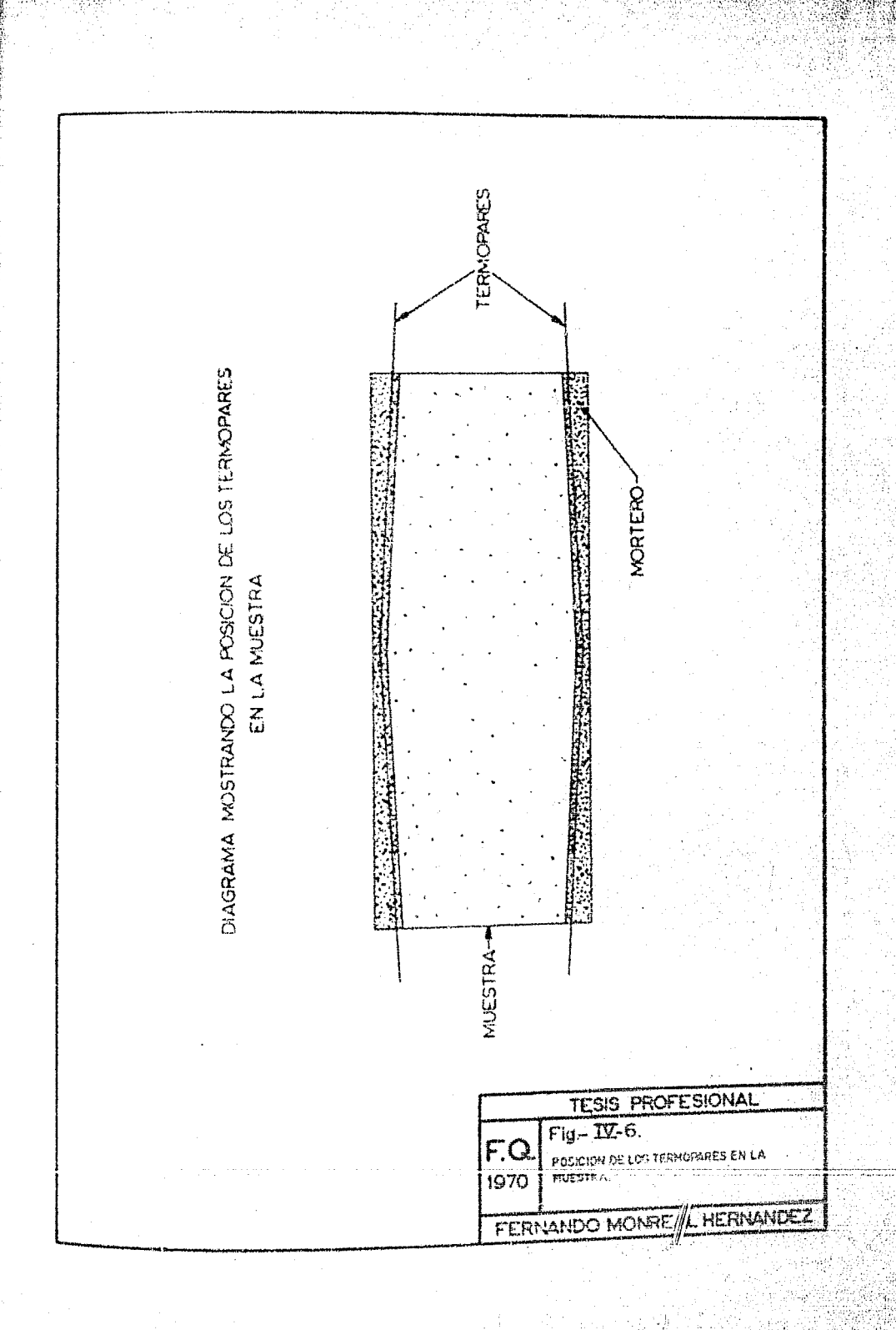
PREPARACION DE LA MUESTRA DE PRUEBA.

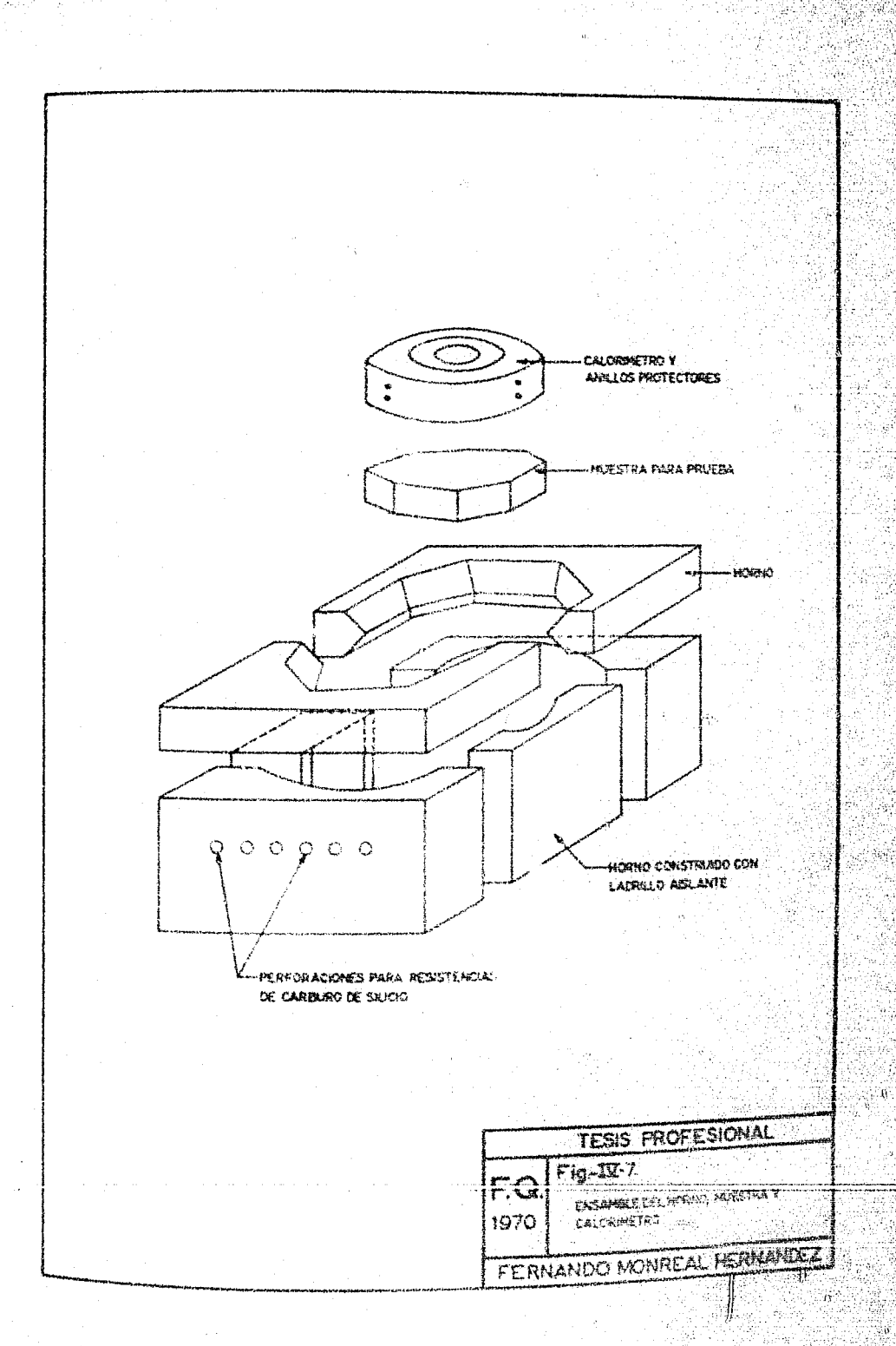
El especimen de prueba puede ser cortado de piezas estandard de manufactura normal de la serie de 229 X 114 mm (9 X 4 1/2 pulg.) o moldeado, para formar un octágono de 48 mm (1 7/8 pulg.) por lado (ver Fig. No. IV-1), aunque otras formas como discos pueden ser utilizadas. Los espesores se dan de acuerdo con el tipo de material por probar. La experiencia ha mostrado que es conveniente mantener la resistencia térmica de la muestra de prueba - en los mismo rangos, de tal manera que para materiales sislantes espesores - del orden de 25 mm (1 pulg.) son adecuados para ladrillos de sílice. 51 mm - (2 pulg.) y para productos electrofundidos o de mircón de alta densidad, etc. 76 mm (3 pulg.) de espesor son convenientes.

Las caras del especimen deben ser planas y paralelas, ranurandose posteriormente para el soporte de los termopares.

PROCEDIMIENTO EXPERIMENTAL.

Los termopares son cementados en las ranuras efectuadas en el especimen de prueba, para lo cual se les ha dejado una longitud de 76 mm -(3 puly.) de cada lado de la unión caliente desenfundada, teniendo cuidado
de hacer estas uniones como se muestra en la Fig. IV-6. La pieza de prueba
es colocada en el aparato como se raestra en la Fig. No. IV-7. Para reducir
la resistencia térmica por el contacto entre el especimen y el calerímetro
cuando son probados materiales no muy tersos, polvo fino de carburo de sili
cio es recendo en la superfície superior de la pieza de prueba y empareiado
usando una regla recta. (Debe tenerse mucho cuidado de evitar la contamina-





ción de la junta caliente del termopar con el carburo de silicio).

Los seis termopares son insertados en el calorímetro y los aníllos protectores, asegurando que la unión caliente de los termopares este en contacto con los extremos de las perforaciones en el metal. El conjunto es entonces colocado centralmente sobre la pieza de prueba, siendo llevados cuidadosamente a través de pequeñas perforaciones en las paredes laterales a un selector adaptado al petenciónetro.

Agregado para la fabricación de ladrillo aislante del mismo tipo que el empleado para construir el horno es vaciado en el espacio entre la
pieza de prueba y el horno hasta el nivel de la superficie superior del espécimen. Finalmente, vermiculita exfoliada (de 1/8 a 1/16 de pulgada de medida de grano) es vaciada en el espacio restante hasta el nivel de la superficie superior del calorímetro.

La muestra es entonces calentada a la temperatura requerida y - cuando esté en el equilibrio todos los termopares son leidos. Si varias -- conductividades se requieren para diferentes temperaturas, entonces el tiem po requerido para alcanzar el equilibrio para temperaturas de cara caliente arriba de 250°C es aproximadamente de seis horas. Es importante tener en - consideración que el aparato debe ser operado donde no existan corrientes - de aire.

Resultados:

La conductividad térmica es calculada usando la siguiente expresión:

$$K_{S} = \frac{K_{C} AT_{C} d_{S}}{AT_{S} d_{C}} - - - - - (24)$$

Donde:

K = Conductividad térmica de la muestra.

K = Conductividad térmica del calorimetro.

AT_c= Caída de temperatura a través de la muestra.

AT = Caída de temperatura a través del calorimetro.

d_s = Espesor de la muestra

d = Espesor del calorimetro.

- d_s es la distancia entre los centros de las juntas calientes de los termopares conectados en la muestra.
- d_c es la distancia entre los centros de las oradaciones en el calorímetro, siendo ésta una constante del conjunto. Por consiguiente debe tenerse cuidado de que las uniones calientes de los termopares del calorímetro salgan, centralmente de los extremos de los aisladores de doble barreno.
- ${\rm K}_{\rm c}$ es obtenida de la curva de conductividad térmica del calorímetro contra temperatura, para cada temperatura media del calorímetro.

RESULTADOS.

En el capítulo anterior se describe el procedimiento experimental, así como el programa de calentamiento al cual fueron sometidas las mues tras de nueve calidades de ladrillos refractarios aislantes.

Las muestras se obtuvieron de lotes de producción normal y se - escogieron al azar.

Varias pruebas se realizaren con muestras de cada una de las — diferentes calidades de ladrillo aislante, utilizando los resultados de las primeras para afinar algunas variables del equipo, instrumentación y práctica experimental. Las dos últimas corridas para cada calidad se reportan como los resultados.

Las muestras fueron sometidas a calentamiento para medir su com portamiento desde el punto de vista de conducción de calor, a 5 temperaturas diferentes. (5 posiciones en la leva-programa). La obtención de la primera desición del programa se alcanza operando el aparato manualmente, hasta obtener en el registrador la temperatura del horno que se tiene programada para como posición. Una vez alcanzada ésta, se deja estabilizar el sistema - de horas, istabilizado, es decir, alianzado un estado de régimen estaciona-

horno hasta alcanzar la temperatura correspondiente a la segunda posición y nuevamente se deja estabilizar el conjunto por 24 horas, procediendo enseguida en la misma forma anterior a tomar 5 lecturas de cada una de las 8 temperaturas en los diferentes puntos del sistema. El procedimien o se repite - para la tercera, cuarto y quinta posiciones del programa.

Los resultados para las muestras de cada calidad se reportan en las tablas que en hojas adelante se presentan. Estos resultados se reportan para cada una de las cinco temperaturas de estudio como un promedio de tres de las lecturas obtenidas, pues la mayor y la menor fueron eliminadas.

Con los resultades promedio obtenidos para cada muestra, se trazaron las curvas correspondientes de "K vs T" y de ellas se obtuvo una curva media para cada calidad de ladrillo aislante que son las que se reportan en este — capítulo. (Curvas V -1 a V -9).

En las tablas de resultados además de indicarse todas las temperaturas medias y datos de las muestras para el cálculo de las conductividades, se incluyen las propiedades, densidad, porosidad y absorción de agua obtenidas para cada una por los procedimientos y con los aparatos indicados por la prueta para la porosidad aparente, absorción de agua, gravedad específica aparente y densidad aparente para ladrillos refractarios quemados, o la paratos de las conductividades.

son quimicamente ligados y no quemedos, es decir, difieren de los demás que

si son por lo que las pruebas mencionadas anteriormente para determinar propiedades no se aplicaron a ellos.

Tratando de correlacionar la conductividad térmica de los ladrillos refractarios aislantes con algunas de sus propiedades se trazaron las curvas V-10 y V-11. En estas curvas se graficó la conductividad térmica en contrada contra un promedio de los resultados de deusidad aparente y porosidad at rente determinados en cada una de las dos muestras de cada calidad de ladrillo en estudio, teniendo como parámetros cada una de las cinco tempera turas a las cuales se determinó la conductividad.

Solamente 4 curvas "K vs densidad aparente" y 3 de "K vs porosidad aparente" se muestran con el objeto de apreciar con mayor claridad la tendencia de las mismas, ya que a todas las temperaturas de estudio se obtuvieron curvas muy similares.

TABLA DE RESULTADOS No. V - 1

Material: 1 Corrida No. 1

Densidad g/cm³:

0.52

G.

Porosidad % :

Absorción de Agua %;

Dimensiones de la Muestra :

Espesor

Longitud y Ancho.

1.059 pulgadas

Configuración octagonal de Aprox. 4 1/2 pulgadas entre cada dos caras opuestas paralelas

Espesor del Calorímetro:		1.2655 pulgadas.					
RESULTADOS DE LA PRUEBA: PUNTO No. :		1	2	3	4	5	
Temperaturas en la Muestra: Cara Caliente °C Cara Fría °C Diferencia °C		167.0 155.4 11.6	420.4 316.0 104.4	620.8 490.4 130.4	831.0 565.4 265.6		
Temperatura Media °C		161.2	368.2	555.6	698.2		
"t" calculadas en Cal-cm hr.cm ² °C	. 0	.5679	1.2023	1.2451	1.4566		
Temp. Cara Caliente en el Calorímetro °C Temp. Cara Caliente en el Anillo Protector Interior Temp. Cara Caliente en el Anillo Protector Exterior	°C	155.0 156.3 154.0	302.0 311.0 304.0	410.8 432.0 412.8	513.2 546.7 516.3		
Temp. Cara Fría en el Calorímetro °C Temp. Cara Fría en el Anillo Protector Interior °C Temp. Cara Fría en el Anillo Protector Exterior °C		153.8 146.5 143.0	295.3 283.0 271.2	403.0 386.4 368.0	500.4 486.8 460.8		

TABLA DE RESULTADOS No. V - 2

Material: I Corrida No. 2

Densidad g/cm³:

0.55

Porosidad % :

Absorción de Agua % :

Dimensiones de la Muestra :

Espesor

1.0826 pulgadas

Longitud y Ancho Configuración ectagonal de Aprox. 4 1/2 pulgadas entre cada dos caras opuestas paralelas

Espesor del Calorímetro:	1,2655	pulgadas		
FESULTADOS DE LA PRUEBA: PUNTO No.:	2	3	4	5
Remperaturas en la Muestra: Cara Caliente °C 164.6 Cara Fría °C 153.4 Diferencia °C 11.2	310.3	625.2 453.1 172.1	824.4 571.0 253.4	
Temperatura Media °C 159.0	359.05	539.15	697.7	
"K" calculadas en Cal-em hr.cm ² °C 0.2821	0.8956	0.6678	1.3301	
Temp. Cara Caliente en el Calorímetro °C 156.2 Temp. Cara Caliente en el Anillo Protector Interior °C 156.5 Temp. Cara Caliente en el Anillo Protector Exterior °C 155.0	305.7	434.0 443.1 434.8	532.3 550.7 543.9	
Temp. Cara Fría en el Calorímetro °C 155.7 Temp. Cara Fría en el Anillo Protector Interior °C 153.0 Temp. Cara Fría en el Anillo Protector Exterior °C 147.8	294.0	429.6 418.3 404.5	521.0 519.5 495.0	

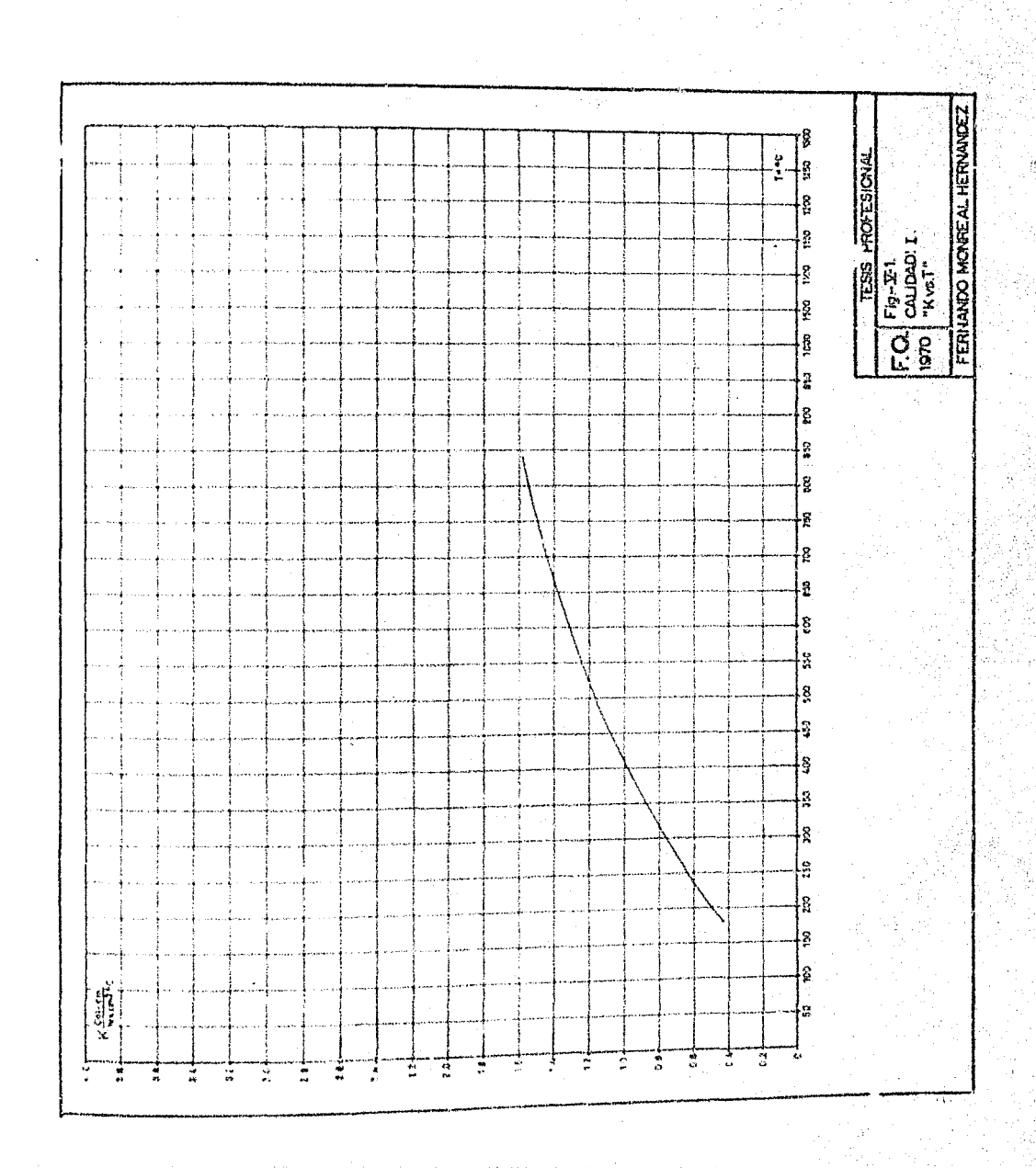
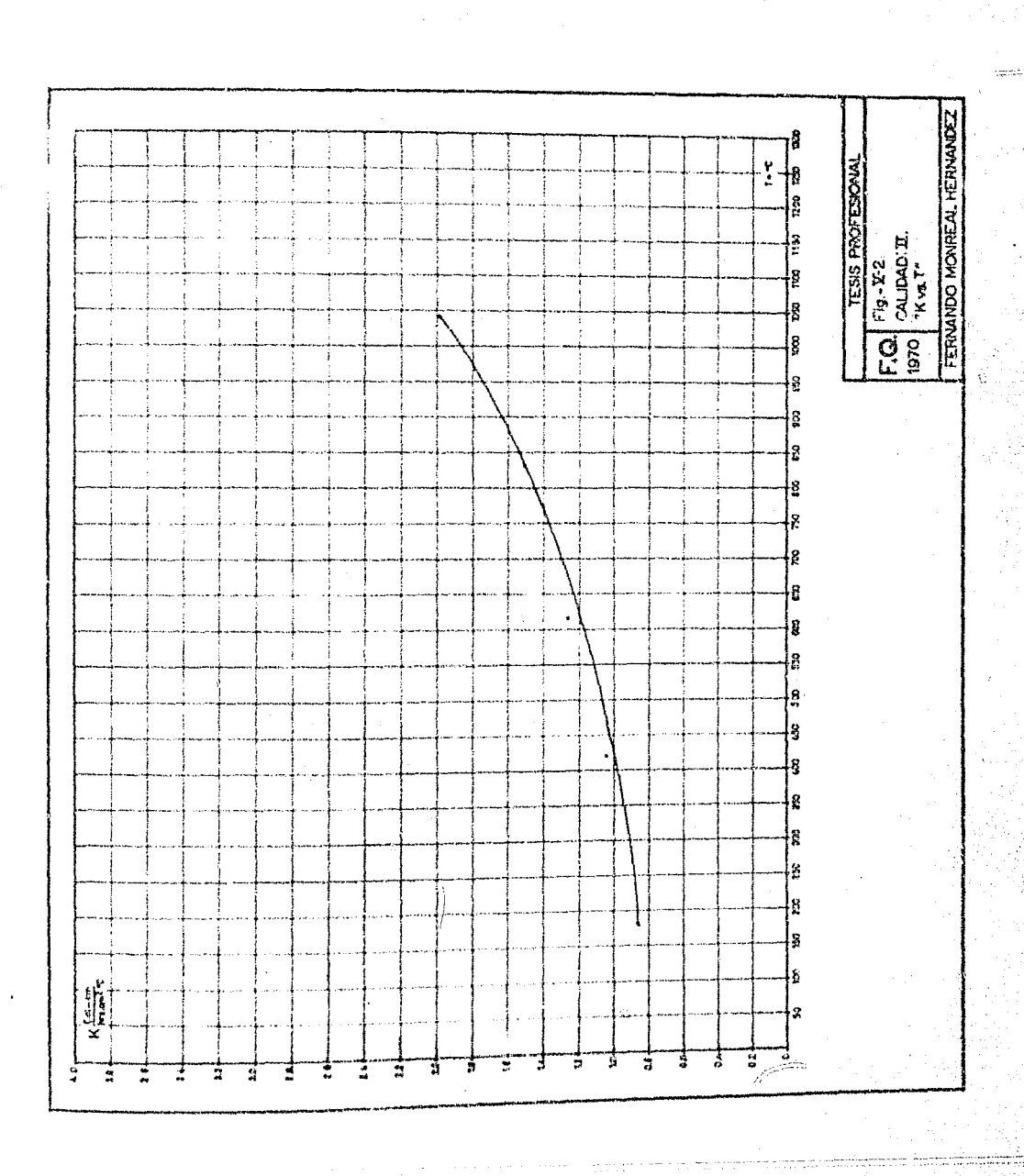


TABLA DE RESULTADOS NO.	5 No. V - 3		1.0			
Material : 11	Carrida No.	_				
may's purished		99.0				
Porosidad Z						
Absorción de Agua 7 :						
Dimensiones de la Muentra						
Kapesor		1,0433	1.0433 pulgadan			
Longitud y Ancho	Configuración octagonal de Aprox. 4 1/2 pulgada entre cada dos caras opuestas paralelas	ión octág don cara	onal de la se	prox. 4 is parale	1/2 pulga 1as	अवस
superor del Calorimetro:		1,2655	1,2655 pulgaday			
HESULIADOS DE LA PRUEBA: Pouto no. :	au.v	€%.	معي	4	×~~	
Timperaturas en la Mucatra; Gara Callente "C	171	420.4	6,09,8	825.4	0.8801	
Cara Tela "C Diferencia "C	139.0	334,8 85.6	467.2	600.3 225.1	750.3	
Temperatura Media "C	155.1	377.6	564.0	712,85	894.15	
ok' cateutadas en Calven	0.46	0.46 1.3443	1,1923	1.6169	1,7513	
leup. Cara Callente en el Calorimetro "C	134.6	305.0	417.0	526.2	544.5	
			420.0	522.0	636.0	#1, i .
temp, Cara Fria en el Calorimetro "C	125.5		3.05.0	513.5	628.0	
long, take kila on el Anillo Protector Exterior "C	119.0	260,4	365.7	644.0	566.5	** ***

Material: II Corrida No. 2 Densidad g/cm3: 0.64 Porosidad % Absorción de Agua 2 : Dimensiones de la Muestra : Espesor 1.0433 pulgadan. Longitud y Anche. Configuración octagonal de aprox. 4 1/2 pulgadas entre cada dos caras opuestas paralelas Espesor del Calorímetro: 1.2655 pulgadas RESULTADOS DE LA PRUEBA: FUNTO No. : Temperaturas en la Muestra: Cara Caliente °C 164.0 415.2 619.4 824.2 1035.6 Cara Fria 158.8 309.3 400.2 379.4 722.5 Diferencia 105.9 219.2 5.2 244.8 313.1 Temperatura Media°C 161.4 362.25 509.8 701.8 879.05 "K" calculadas en Cal-cm 1.0059 1.0013 1.4636 1.4437 1.8416 Temp. Cara Caliente en el Calorimetro °C 158.0 289.3 353.0 522.0 644.9 Temp. Cara Caliente en el Anillo Protector Interior °C 160.0 291.6 357.3 529.0 650.0 Temp. Cara Caliente en al Anillo Protector Exterior °C 158.6 291.0 355.0 526.0 647.0 Temp. Caza Fría en el Calorimetro °C 156.2 285.0 343.0 510.8 627.3 Temp. Casa Fria en el Anillo Protector Interior °C 152.4 279.2 342.0 505.7 622.5 Temp. Cara Fria en el Anillo Protector Exterior °C 141.2 254.8 292.6 423.9 525.0



Material: III	Corrida No). l			
Densidad g/cm ³ :		0.76			
Porosidad % :					
Absorción de Agua % :					
Dimensiones de la Muestra :					
Espesor		1,091 p	ulgadas		
Longitud y Ancho	Configurac	ión octag	onal de a	prox. 4 s parale	1/2 pulgada las
spesor del Calorímetro:		1.2655	pulgadas		
RESULTADOS DE LA PRUEBA: PUNTO No. :	· · · · · 1	2	3	4	5
Temperaturas en la Muestra:					
Cara Caliente °C Cara Fría °C	172.0	416.2	620.6	822.4	1037.2
Cara Fría °C Diferencia °C	164.0	316.6	432.6	554.0	698.0
Biletencia (8.0	99.6	188.0	268.4	339.2
Temperatura Media °C	168.0	366.4	526.6	688.2	867.6
'K" calculadas en Cal-cm hr.cm ² °C		0.664	0.866	1.037	1.469
Temp. Cara Caliente en el Calorimetro °C	161.0	304.2	404.4	511.0	631.7
Temp, Cara Caliente en el Anillo Protector Interior °C	160.0	302.5	402.8	506.0	626.0
Temp. Cara Caliente en el Anillo Protector Exterior °C	160.4	403.2	403.0	508.0	627.2
Temp. Cara Fría en el Calorimetro °C	162.0	301.5	200.0		
Temp. Cara Fria en el Anillo Protector Interior °C	158.0	297.0	399.2		618.0
Temp. Cara Fría en el Anillo Protector Exterior °C	147.4	270.1	397.1 355.0	502.7	621.2
動 많은 이 등 장생님은 그는 이 그는 그는 것도 말한 사람들이 되었다. 그리고 말한 경우를 하는 것이다.	47114	WIGHT	333°C	456.0	562.5

Material : III Corrida No. 2

Densidad g/cm³:

0.79

Porosidad %

Absorción de Agua % :

Dimensiones de la Muestra :

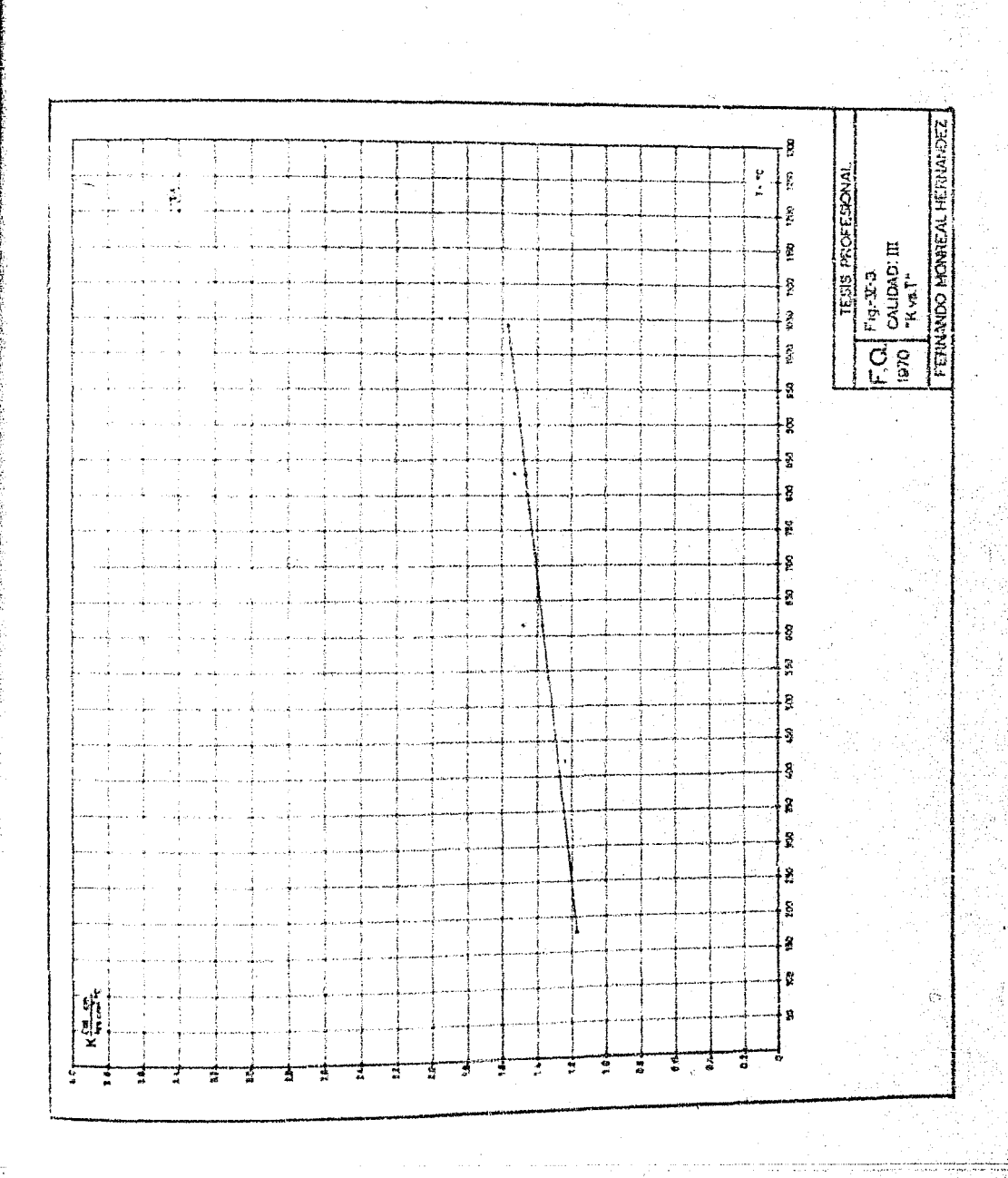
Espesor

1.079 pulgadas

Longitud y Ancho

Configuración octagonal de aprox. 4 1/2 pulgadas entre cada dos caras opuestas paralelas

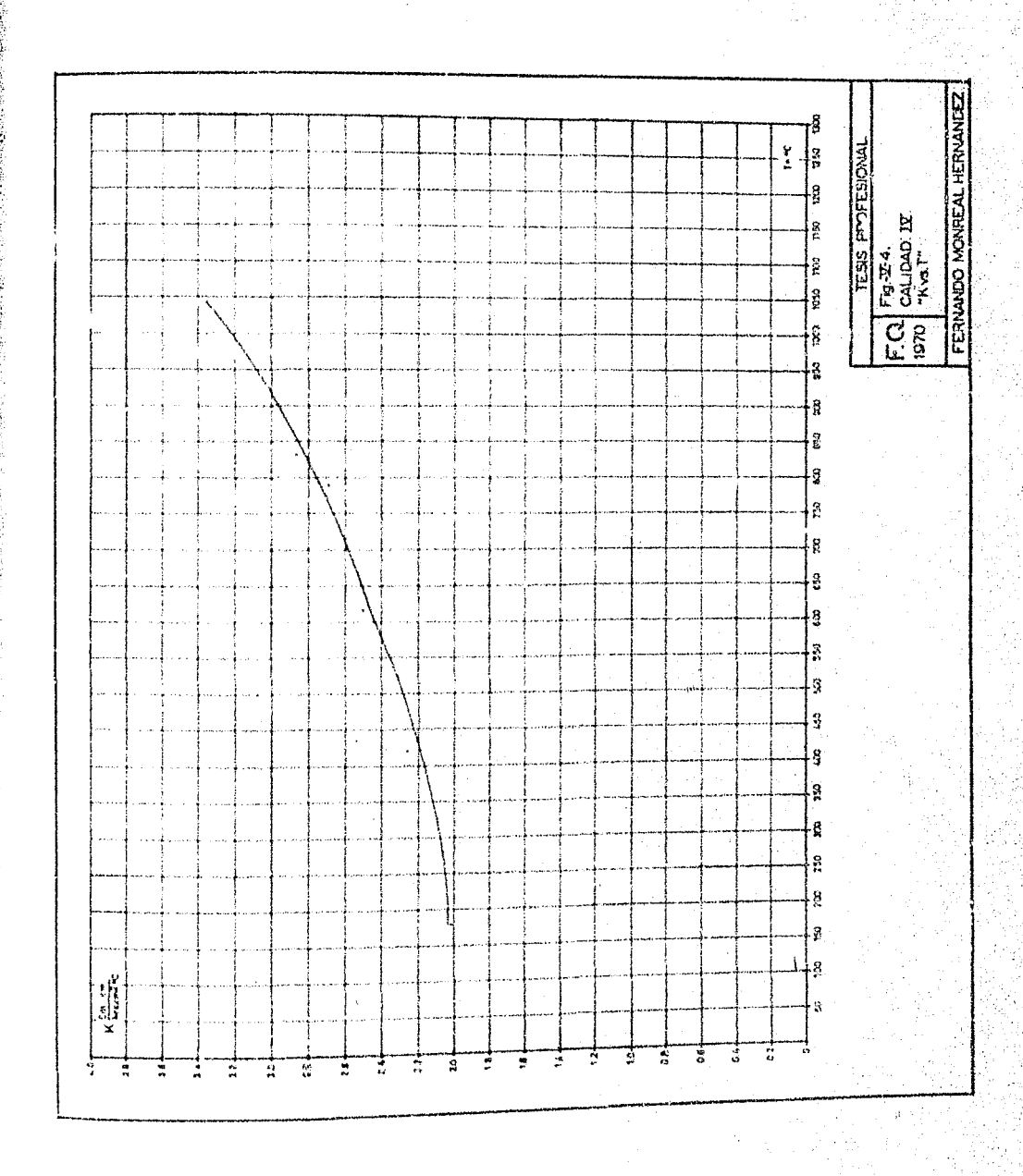
Espesor del Calorímetro:	1.2655 pulgadas				
RESULTADOS DE LA PRUEBA: PUNTO No. :	1	2	3	4	5
Temperaturas en la Muestra:					
Cara Caliente °C Cara Fría °C Diferencia °C	174.6 171.0 3.6	417.4 320.0 97.4	622.0 440.4 181.6	825.0 562.2 262.8	1039.4 708.0 331.4
Temperatura Media °C	172.8	368.7	531.2	693.6	873.7
"K" calculadas en Cal-cm hr.cm ² °C	1.494	1,398	1.339	1.739	1.709
Temp. Cara Caliente en el Calorímetro °C Temp. Cara Caliente en el Anillo Protector Interior °C Temp. Cara Caliente en el Anillo Protector Exterior °C	167.6 164.8 165.6	304.6 302.0 303.2	410.8 407.0 408.6	518.0 513.2 516.4	634.3 624.8 629.2
Temp. Cara Fría en el Calorímetro °C Temp. Cara Fría en el Anillo Protector Interior °C Temp. Cara Fría en el Anillo Protector Exterior °C	164.8 162.6 156.5	298.5 293.3 283.0	402.7 394.6 382.0	504.3 500.2 483.7	618.0 613.0 593.5



Material : IV Corrida No. 1

	•	_						
	Densidad g/cm	3:		0.81				
	Porosidad %	:		68.0		•		
	Absorción de Agua Z	:		77.0				
Dime	nsiones de la Muestra:							
	Espesor			1.072 g	oulgadas			
	Longitud y Ancho		Configuraci entre cada	ion octag dos cara	tonal de a is opuesta	prox. 4	1/2 pulg	ada
Espesor del Calorím	etro:				pulgadas	•		
RESULTADOS DE LA PR	UEBA:	:						
PUNTO No. :			1	2	3	4	5	
Temperaturas en la	Muestra:							
Cara Caliente			172.0	416.6	626.0	829.0	1039.0	
	°C		154.0	392.0	501.1	668.0	840.2	
Diferencia °	°C	4	18.0	24.6	124.9	161.0	198.8	
Temperatura Media °	°c ·	•	163.0	404.3	563.6	748.5	939.6	
"K" calculadas en (Cal-em		2,13	2.39	2.81	3 30		
"K" calculadas en i	ar.cm ² °C		4.13	2.39	2.01	3.38	4.2	
	e en el Calorímetro °C		160.0	298.2	416.0	511.2	645.5	
Temp. Cara Caliente	e en el Anillo Protecto	r Interior	°C 157.2	296.1	412.0	506.2	630.8	
Temp. Cara Caliente	e en el Anillo Protector	r Exterior	°C 159.0	297.3	414.2	589.0	634.2	
Temp. Cara Fría en			158.0	294.0	408.0	499.0	638.2	
Temp. Cara Fría en	el Anillo Protector In	terior °C	158.2	292.0	406.0	491.0	630.2	
Temp. Cara Fría en	el Anillo Protector Ex	terior °C	157.0	290.2	404.2	490.2	626.0	eg i
		A 1 4 1 1 1 1 1 1 1 1 1 1 1 1 1 1 1 1 1		100				1

Material:	IV	Corrida No	. 2				
Densidad g/cm ³ :			0.85				
Porosidad % :			65.0				
Absorción de Agua % :			74.0				
Monojeton de Agua A .			74,0				
Dimensiones de la Muestra :							
Espesor			1.085 p	ulgadas			
Longitud y Ancho		Configuraci	ion octag	onal de a	prox. 4	1/2 sule	ada
		entre cada					
Espesor del Calorímetro:			1.2655	pulgadas			
RESULTADOS DE LA PRUEBA:		-					
PUNTO No. :		1	2	3	4	5	
Temperaturas en la Muestra:							
Cara Caliente °C		170.0	416.0	608.0	828.0	1035.0	
Cara Fría °C		151.0	390.6	489.0	666,2	834.5	
Diferencia °C		19.0	25.4	119.0	161.8	200.5	
Temperatura Media °C		160.5	403.3	548.5	747.1	934.8	
		4 × 4					
"K" calculadas en Cal-cm hr.cm ² °C		1.87	1.97	2.13	2.53	2.96	
Temp. Cara Caliente en el Calorimetro °C		150.0	389.2	486.0	662.0	831.2	
Temp. Cara Caliente en el Anillo Protector Int	erior °	°C 149.0	387.0	483.0	658.0	833.0	
Temp. Cara Caliente en el Anillo Protector Ext	erior °	°C 147.2	386.8	484.2	656.2	829.8	
lemp. Cara Fría en el Calorímetro °C		149.0	386.8	483.0	658.0	828.0	100
lemp. Cara Fria en el Anillo Protector Interio	r°C	147.0	385.6	482.0	656.0	824.0	
Temp. Cara Fria en el Anillo Protector Exterio		144.8	382.0	479,0	653.0	817.2	1.
	100					~ A . F . S . S	



Material : V Corrida No. 1

Densidad g/cm 3 : 0.92

Porosidad Z : 67.0

Absorción de Agua Z : 63.0

Dimensiones de la Muestra

Espesor 1.12 pulgadas

Longitud y Ancho Configuración octagonal de aprox. 4 1/2 polgadas entre cada dos caras opuestas paralelas.

Espesor del Calorímetro:		1.2655	pulgadas		
RESULTADOS DE LA PRUEBA:					
PUNTO No. :	1	2	3	4	5
Temperaturas en la Muestra:					. Proceedings
Cara Caliente °C	165.0	412.0	601.0	822.0	1038.0
Cara Fría °C	153.0	386.0	511.0	672.0	858.0
Diferencía °C	12.0	26.0	90.0	150.0	180.0
Temperatura Media °C	159.0	399.0	556.0	747.0	948.0
"K" calculadas en Cal-cm hr.cm ² °C	2.28	2,96	3,28	3.61	3.95
Temp. Cara Caliente en el Calorímetro °C	152.0	384.0	506.0	670.0	855.0
Temp. Cara Calience en el Anillo Protector Interior °C	151.0	381.2	504.2	666.0	853.0
Temp. Cara Caliente en el Amillo Protector Exterior °C	151.2	381.0	504.8	665.0	853.2
Temp. Cara Fría en el Calorímetro °C	151.0	381.0	504.0	665.0	852.0
Temp. Cara Fria en el Anillo Protector Interior °C	149.0	380.0	500.2	660.0	848.0
Temp. Cara Fría en el Anillo Protector Exterior °C	149.6	379.8	502,2	661.2	849.8

Material: V Corrida No. 2

Densidad g/cm^3 : 0.96

Porosidad X: 62.9

Absorción de A_{E} A_{E} A_{E} : 57.0

Dimensiones de la Muestra

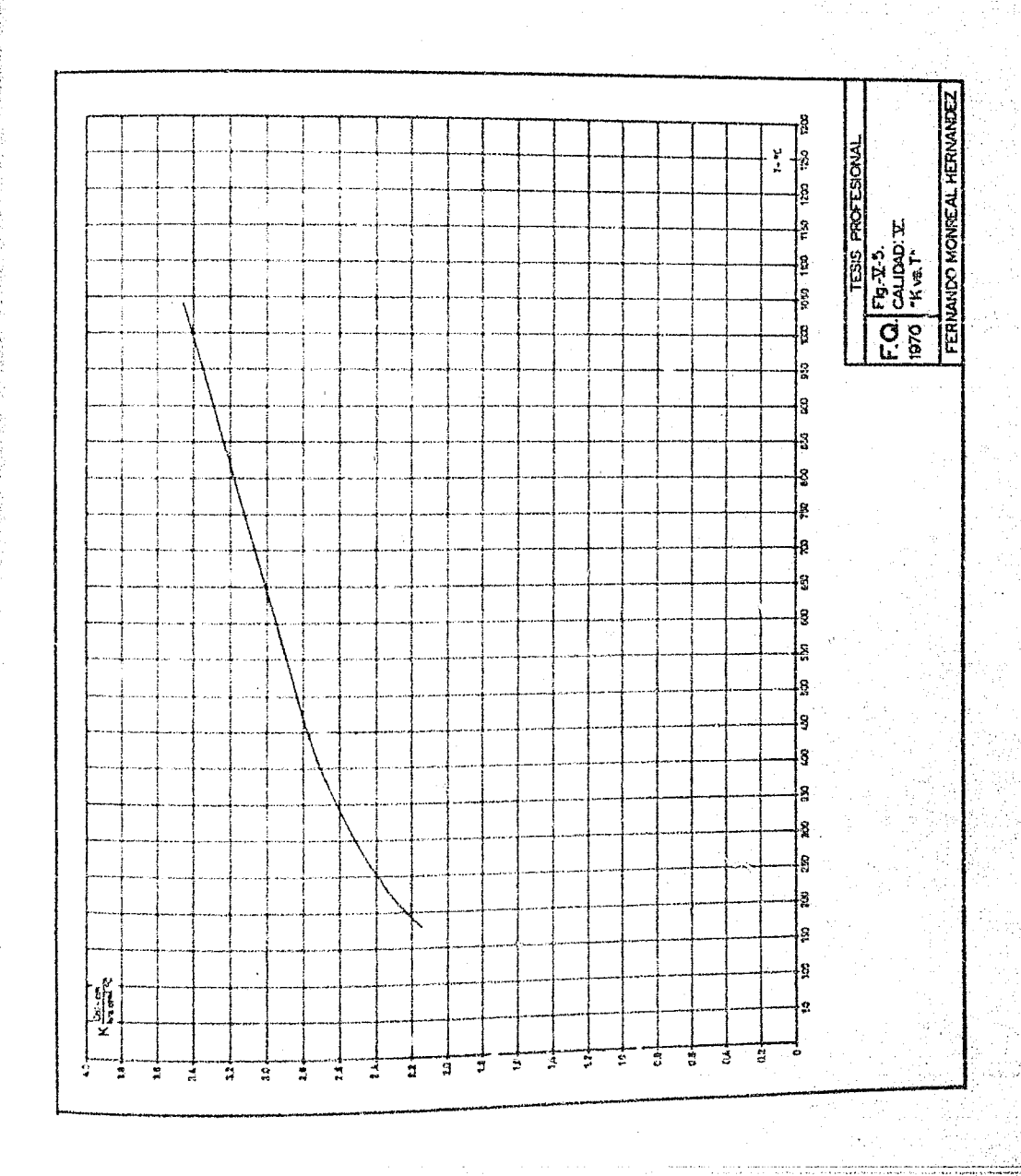
Espesor

1.11 pulgadas

Longitud y Ancho

Configuración octagonal de aprox. 4 1/2 pulgadas entre cada dos caras opuestas paralelas.

Ispesor del Calorímetro:		1.2655	pulgadas		
RESULTADOS DE LA PRUEBA:					
PUNTO NO. :	1	2	3	. 4	5
Temperaturas en la Muestra:					
Cara Caliente °C	170.0	413.0	626.0	828.0	1041.0
Cara Fria	159.8	390.9	545.0	683.0	879.0
Diferencia °C	10.2	22.1	81.0	145.0	162.0
Temperatura Media °C	164.9	401.9	585.5	755.5	960.0
"K" calculadas en Cal-cm hr.cm ² °C	1,90	2.41	2.71	2.93	3.18
Temp. Cara Caliente en el Calorimetro °C	160.0	393.0	556.0	718.0	991.0
Temp. Cara Caliente en el Anillo Protector Interior °C	158.5	391.0	554.0	714.0	989.0
Temp. Cara Caliente en el Anillo Protector Exterior °C	159.0	390.2	553.8	713.0	988.0
Temp. Cara Fría en el Calorímetro	158.0	390.0	553.0	712.0	987.0
Temp, Cara Fria en el Anillo Protector Interior °C	158.5	390.2	552.3	710.2	984.3
Temp. Cara Fria en el Anillo Protector Exterior °C	157.0	389.0	550.0	710.0	983.0



Material: VI Corrida No. 1

Densidad g/cm³:

0.87

Porosidad % :

63.2

Absorción de Agua %:

75.0

Dimensiones de la Muestra :

Espesor

1.102 pulgadas

Longitud y Ancho

Configuración octagonal de aprox. 4 1/2 pulgadas entre cada dos caras opuestas paralelas.

Espesor de Calorimetro:		1.2655	pulgadas	
RESULTADOS DE LA PRUEBA: PUNTO No.:	, 1	2	3	4 5
Temperaturas en la Muestra:				
Cara Caliente °C	183.75	422.4	622.4	827.8 1041.0
Cara Fría °C	170.0	402.5	553.5	692.0 859.2
Diferencia °C	13.75	19.9	68.9	135.8 181.8
Temperatura Media °C	176.9	.12.5	588.0	759.9 950.1
"K" calculadas en Cal-cm hr.cm ² °C	0.48	13 1.917	4 6.753	2.586 3.165
	163.0	365.5	495.2	598.3 728.5
Temp, Cara Caliente en el Anillo Protector Interior °C		363.7	499.7	609.5 750.0
Temp. Cara Caliente en al Ant lo Protector Exterior °C	163.0	364.2	496.2	602.6 736.8
Temp. Cara Fría en el Calorímetro °C	162.4	360.3	488.1	584.0 706.0
Temp. Cara Fria en el Anillo Protector Interior °C	149.5	342.0	457.2	545.7 677.5
Temp. Cara Fría en el Anillo Protector Exterior °C	145.0	314.2	479.7	526.7 653.8

Material: VI Corrida No. 2 Densidad g/cm³: 0.87 Porosidad 2 63.7 Absorción de Agua % : 75.5 Dimensiones de la Muestra : Espesor 1.043 pulgadas Longitud y Ancho Configuración octagonal de aprox. 4 1/2 pulgadas entre cada dos caras opuestas paralelas. Espesor del Calorimetro: 1.2655 pulgadas RESULTADOS DE LA PRUEBA: PUNTO No.: Temperaturas en la Muestra: Cara Caliente °C 172.3 418.6 824.4 1035.5 618.7 Cara Fría 405.5 163.8 581.4 615.0 961.2 Diferencia 8.5 13.1 27.3 209.4 74.3 Temperatura Media °C 412.1 168.1 600.1 719.7 998.4 "K" calculadas en Cal-cm hr.cm²°C 1.589 1.911 2.677 3.287 2.379 Temp. Cara Caliente en el Calorimetro °C 162.8 358.9 498.4 612.0 788.7 Temp. Cara Caliente en el Anillo Protector Interior °C161.5 368.2 600.2 510.8 828.4 Temp. Cara Caliente en el Anillo Protector Exterior °C160.8 371.2 602.8 564.2 849.8 Temp. Cara Fria en el Calorimetro °C 160.3 353.2 487.0 607.0 765.1 Temp. Cara Fría en el Anillo Protector Interior °C 344.8 157.8 478.3 751.1 609.2

159.2

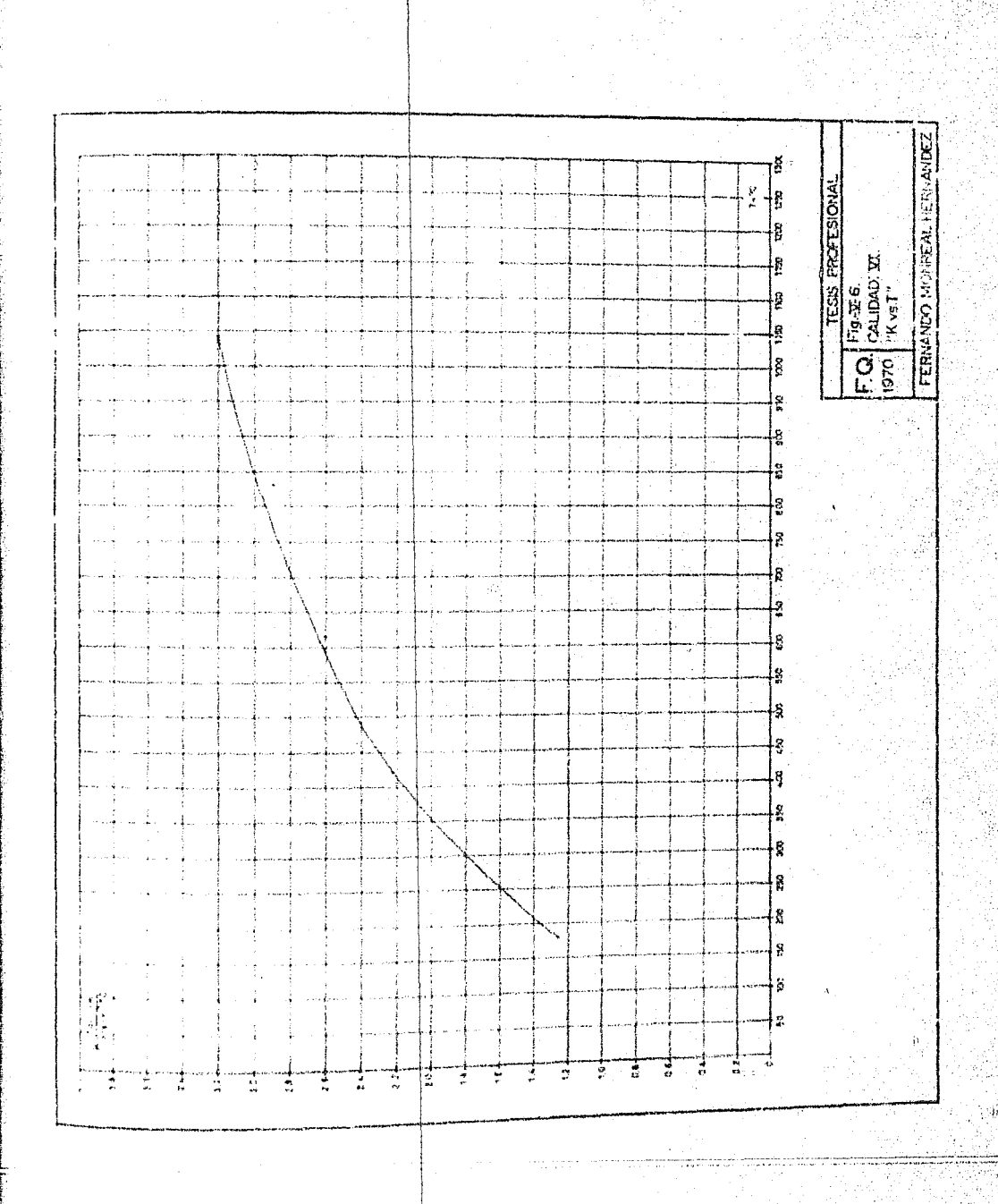
349.8

482.1

608.1

760:2

Temp. Cara Fria en el Anillo Protector Exterior °C



	Material: VII	Corrida :	No. 1				
	Densidad g/cm³:		0.79				
4	Porosidad % :	-	70.2				
•	Absorción de Agua 🏗 :		82.6				
Ď	imensiones de la Muestra :						ند
	Espesor		1.134	pulgadas			
	Longitud y Ancho	Configura	ción octar la dos cara	gonal de i as opuest:	aprox. 4 as parale	1/2 pulg las.	şadə
Espesor del Calorimetro:			1.2655	pulgadas			
RESULTADOS DE LA PRUEBA:							
FUNTO No.:		1	2	3	4	5	e Se Se
Temperaturas en la Muestr	fa:				,		
Cara Caliente °C		176.€		614.0	829.8	1041.4	
Cara Fría °C Diferencia °C		157.4		515.0	799.0	960.0	
piteremera	그 시간 아내를 하고 있다면 없는 사람이 하는 것이다.	19.2	23.7	99.0	30.8	81.4	
Temperatura Media °C		167.0	404.6	564.5	814.4	1000.7	
"K" calculadas en Cal-cm	<u></u> °C ,	2.3	3,12	3.42	3.55	3.54	
Temp. Cara Caliente en e		154.2	345.6	432.5	700,0	831.7	
Temb. Cara Caliente en e	l Anillo Protector Interior °C	148.5	345.9	436.2	706.7	843.7	
Temp. Cara Caliente en e	1 Amillo Protector Exterior °C	155.2	358.6	459.8	742.8	849.8	
Temp. Cara Fría en el Ca	lorimetro °C	152.2	334.6	431.0	682.4	807.8	
Temp. Cara Fría en el An	illo Protector Interior °C	151.8		400.5	661.5	785.5	
Temp. Cara Fria en el An	illo Protector Exterior °C	151.9		404.0	640.0	761.0	

Material: VII	Corrida No. 2
Densidad g/cm ³ :	0.77
Porosidad % :	70.9
Absorción de Agua X :	82.9

Dimensiones de la Muestra :

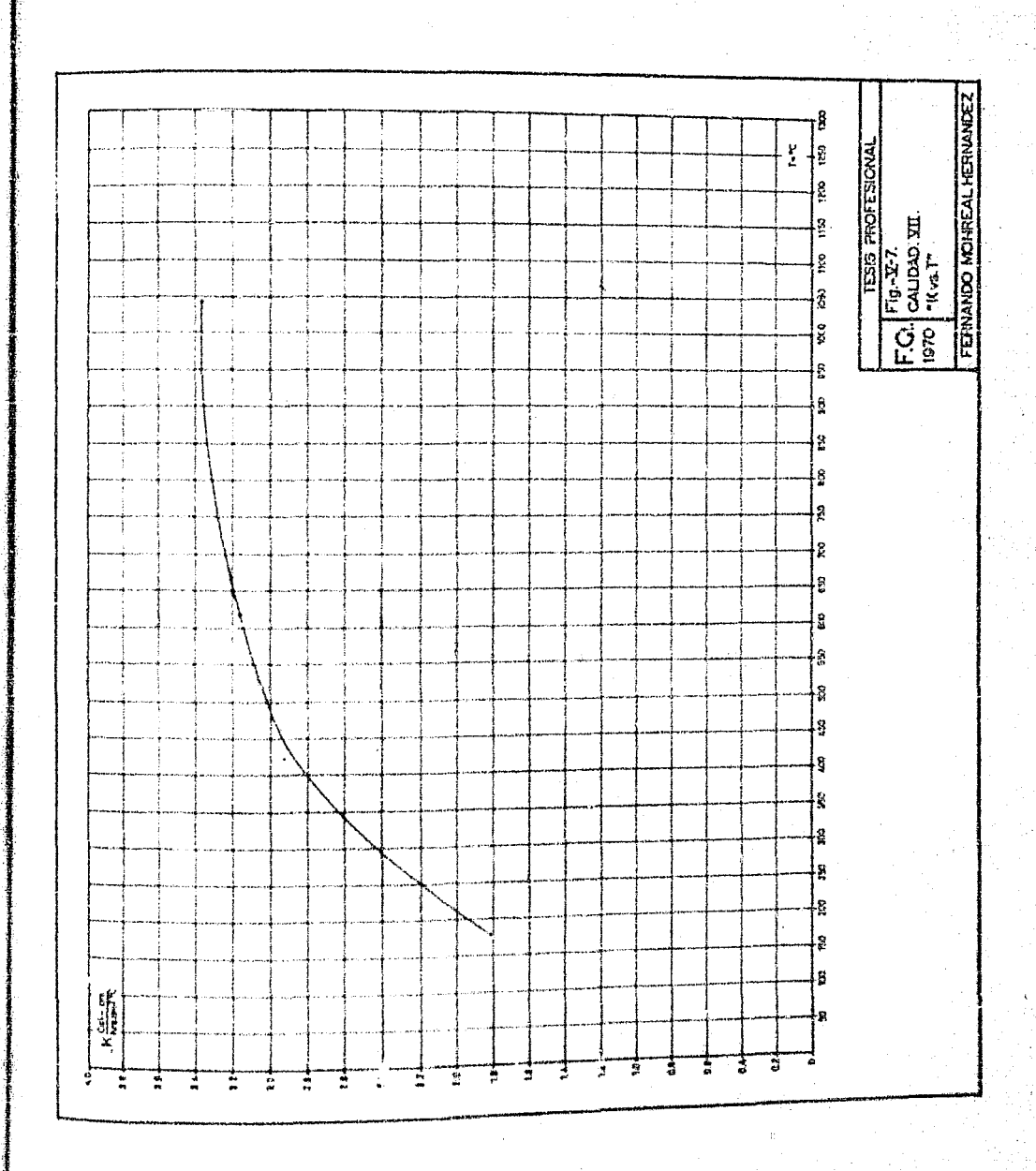
Espesor

Longitud y Ancho

1.18 pulgadas

Configuración octagonal de aprox. 4 1/2 pulgadas entre cada dos caras opuestas paralelas.

Espesor del Calorimetro:	1.26	55 pulgadas		
RESULTADOS DE LA PRUEBA: PUNTO No.:	· 1 2	3	4	5
Tempejaturas en la Muestra: Chra Caliente °C Chra Fría °C Diferencia °C	178.0 415. 158.0 384. 20.0 31.	520.0	845.0 736.0 109.0	1040.0 920.0 120.0
Temperatura Media °C	168.0 399.	5 567.5	790.5	980.0
"K" celculadas en Cal-cm hr.cm ² °C	1.28 2.	31 2.82	3.10	3.16
Temp. Cara Caliente en el Calcrimetro °C Temp. Cara Caliente en el Anillo Protector Interior °C Temp. Cara Caliente en el Anillo Protector Exterior °C	155.2 348. 155.8 346. 148.8 344.	3 490.6	676.2 674.8 672.2	858.8 841.8 846.8
Temp. Cara Fria en el Calorimetro °C Temp. Cara Fria en el Anillo Protector Interior °C Temp. Cara en el Anillo Protector Exterior °C	153.1 339.8 154.2 338.6 153.0 341.8	488.6	668.7 669.8 671.2	845.4 846.8 847.0



Material : VIII Corrida No. 1
Densidad g/cm³ : 0.82

Porosidad % : 71.3

Absorción de Agua 2 : 89.2

Dimensiones de la Muestra :

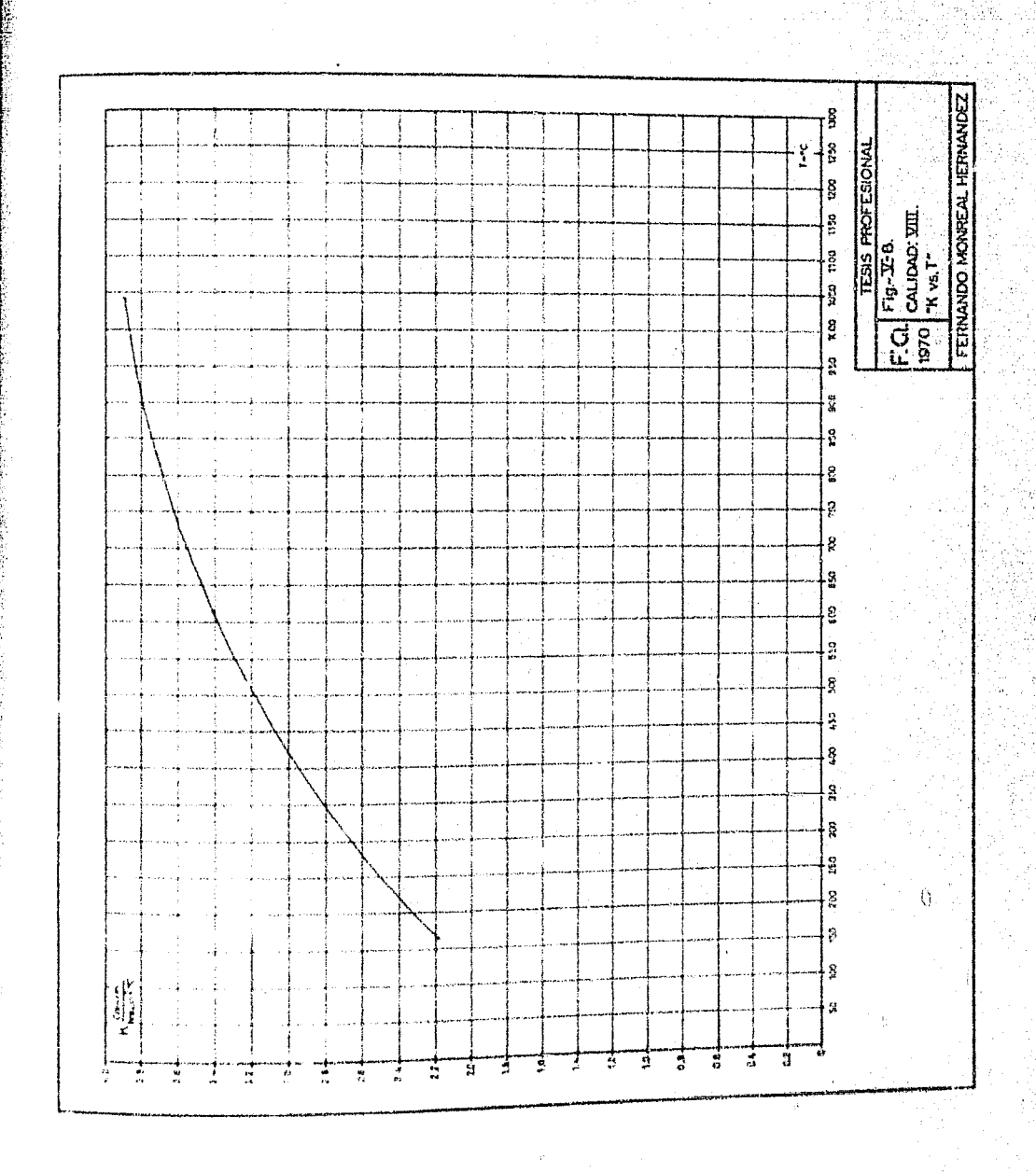
Espesor 1.17 pulgadas

Longitud y Ancho Configuración octagonal de aprox. 4 1/2 pulgadas entre cada dos caras opuestas paralelas.

Espesor del Calorimetro:	1.2655 pulgadas				
RESULTADOS DE LA PRUEBA: PUNTO No.:	- 1	Z	3	,4	5
Temperaturas en la Muestra: Cara Caliente °C Cara Fría °C Diferencia °C	176.0 160.0 16.0	417.0 387.0 30.0	614.0 524.0 90.0	825.0 665.0 160.0	1035.0 840.0 195.0
Temperatura Media °C	168.0	402.0	569.0	745.0	937.5
"R" calculades en Cal-cm hr.cm ² °C	3.01	3.4	3.63	3.88	3.92
Temp. Cara Caliente en el Calorímetro °C Temp. Cara Caliente en el Anillo Protector Interior °C Temp. Cara Caliente en el Anillo Protector Exterior °C	159.0 154.0 155.2	385.0 380.0 379.8	521.0 512.8 518.2	664.0 657.2 656.2	834.0 826.2 827.6
Temp. Cara Fría en el Calorimetro °C Temp. Cara Fría en el Anillo Protector Interior °C Temp. Cara Fría en el Anillo Protector Exterior °C	158.0 154.2 154.4	384.0 380.8 379.6	518.0 510.1 509.8	660.0 649.8 651.6	830.0 821.2 824.1

Material: VIII Corrida No. 2

		•				
Densidad g/cm ³ :		0.80				
Porosidad ${\mathbb Z}$:		72.8				
Absorción de Agua % :		90.2				
Dimensiones de la Muestra :					5	
Espesor		1.19 pu	ilgadas			
Longitud y Ancho	Configurac entre cada					da
Espesor del Calorimetro:		1.2655	pulgadas.			
RESULTADOS DE LA PRUEBA: PUNTO No.:	1	. 2	3	4	5	
Temperaturas en la Muestra: Cara Caliente °C Cara Fría °C Diferenica °C	170.0 160.0 10.0	415.0 401.0 14.0	620.0 560.0 60.0	830.0 710.0 120.0	1040.0 850.0 169.0	
Temperatura Media °C	165.0	403.0	590.0	770.0	960.0	
"K" calculadas en Cal-cm hr.cm ² °C	1.48	2.56	3.16	3.54	3.81	:
Temp. Cara Caliente en el Calorímetro °C Temp. Cara Caliente en el Anillo Protector Interior °C Temp. Cara Caliente en el Anillo Protector Exterior °C	159.0 157.0 158.2	399.0 392.0 398.0	556.0 554.0 554.8	702.0 700.2 702.0	872.0 864.0 869.8	
Temp. Cara Fría en el Calorímetro °C Temp. Cara Fría en el Anillo Protector Interior °C Temp. Cara Fría en el Anillo Protector Exterior °C	156.0 152.4 154.6	382.0 380.2 381.2	518.0 511.2 517.1	670.0 661.2 667.8	850.0 849.2 848.9	
생물을 하고 하는 사람들은 사람들이 가장 하는 사람들이 되었다. 그는 사람들은 사람들이 가장 그는 사람들이 가장 그는 사람들이 되었다.	The second secon				1 1 1 1 1 1 1 1 1 1 1 1 1 1 1 1 1 1 1	



Tdrp. Cara Fria en el Anillo Protector Exterior °C

Material: IX	Corrida No. 1
Densidad g/cm³;	0.87
Porosidad # :	69.5
Absorción de Agua X :	31.8
Dimensiones de la Muestra:	
Espesor	1.967 pulgadas
Longitud y Ancho	Configuración octagonal de aprox. 4 1/2 pulgadas entre cada dos caras opuestas paralelas.
Espesor del Calorímetro :	1.2655 pulgadas
RESULTADOS DE LA PRUEBA:	
PUNTO No. :	1 2 3 4 5
Temperaturas en la Muestra:	
Cara Caliente °C	176.0 419.0 613.0 827.0 1040.0
Cara Fría °C	159.0 390.0 501.0 661.0 852.0
Diferenci. °C	17.0 29.0 112.0 166.0 188.0
Temperatura Media °C	167.5 404.5 557.0 744.0 946.0
"K" calculadas en Gal-cm hr.cm°C	2.04 2.82 3.11 3.41 3.82
Temp. Cara Caliente en el Calorímetro °C	156.0 388.9 499.0 660.0 849.0
Tesp. Cara Caliente en el Anillo Protector Interior°C	154.2 381.2 492.0 658.0 842.8
Tesp. Cara Caliente en el Anillo Protector Exterior °C	152.8 384.6 494.0 657.8 843.6
보세요. 그 이번에 그는 이 방송이 됐다면 다음을 받는 말씀	왕이 많은 사람들이 얼마나 아니는 아니는 아니는 아니는 아니는 사람들이 없다.
Tesp. Cara l'ria en el Calorimetro °C	155.0 386.0 496.0 655.0 845.0
Tepp. Cara Fria en el Anillo Protector Interior °C	153.0 384.2 491.8 651.2 840.8

152.2

Material: IX Corrida No. 2

Densidad g.cm : 0.83

Porosidad 2 : 70.7

Absorción de Agua 2 : 83.0

Dimensiones de la Muestra:

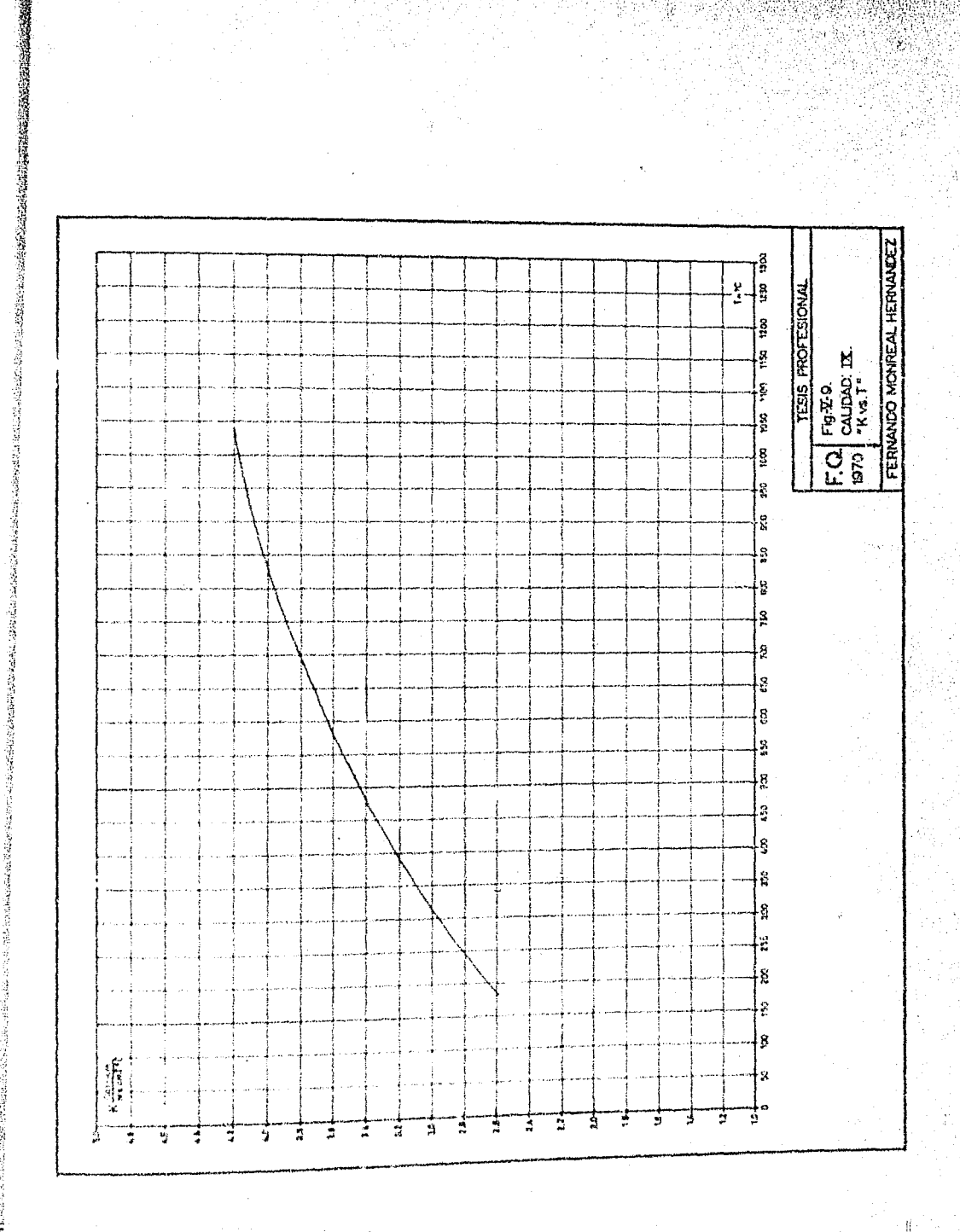
Espesor				
Inneitod		anaha		

Longitud y Ancho

1.094 pulgadas

Configuración octagonal de aprox. 4 1/2 pulgadas entre cada dos caras opuestas paralelas.

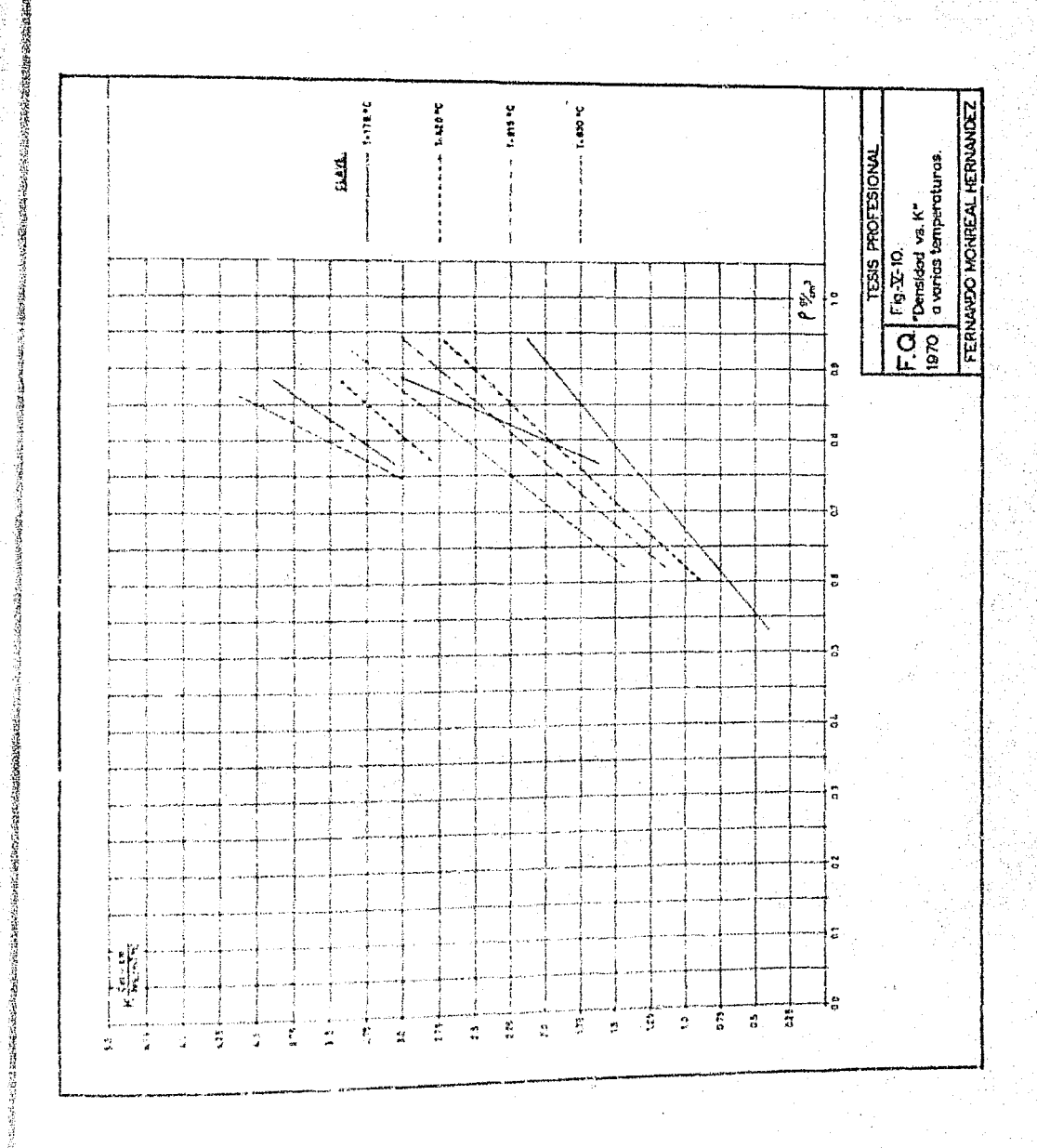
Espesor del Calorimetro:	1.2655 pulgadas
RESULTADOS DE LA PRUEBA: FUNTO NO. :	1 1 2 3 4 5
Temperaturas en la Muestra: Lara Caliente °C Lara Fría °C Diferencia °C Temperatura Media °C	172.0 420.0 618.0 825.0 1042.0 158.0 394.0 510.0 667.0 846.0 14.0 26.0 108.0 158.0 196.0 165.0 407.0 564.0 746.0 944.0
"K" talculadas en Cal-cm hr.cm ² °C	2.91 3.56 4.05 4.34 4.54
Temp. Cara Caliente en el Calorímetro °C Temp. Cara Caliente en el Anillo Protector Interior °C Temp. Cara Caliente en el Anillo Protector Exterior °C	154.0 391.0 508.0 664.0 844.0 151.8 389.0 502.0 660.0 840.8 152.6 387.2 503.8 659.8 841.2
Tem. Cara Fria en el Calorímetro °C Tem. Cara Fria en el Anillo Protector Interioy °C Tem. Cara Fria en el Anillo Protector Exterior °C	152.0 388.0 504.0 658.0 839.0 150.2 381.2 500.1 656.2 832.8 148.4 384.8 498.8 655.8 834.2

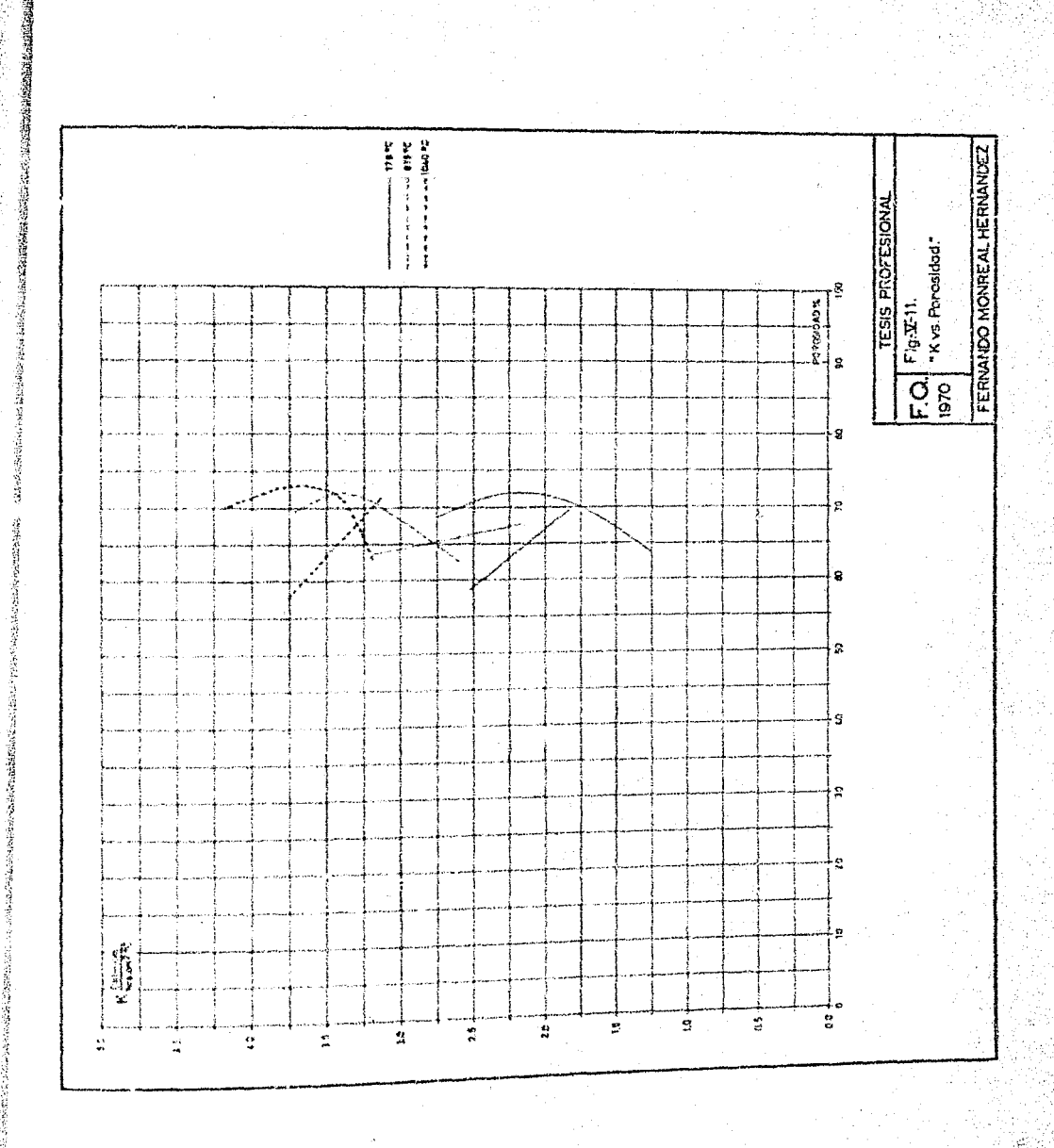


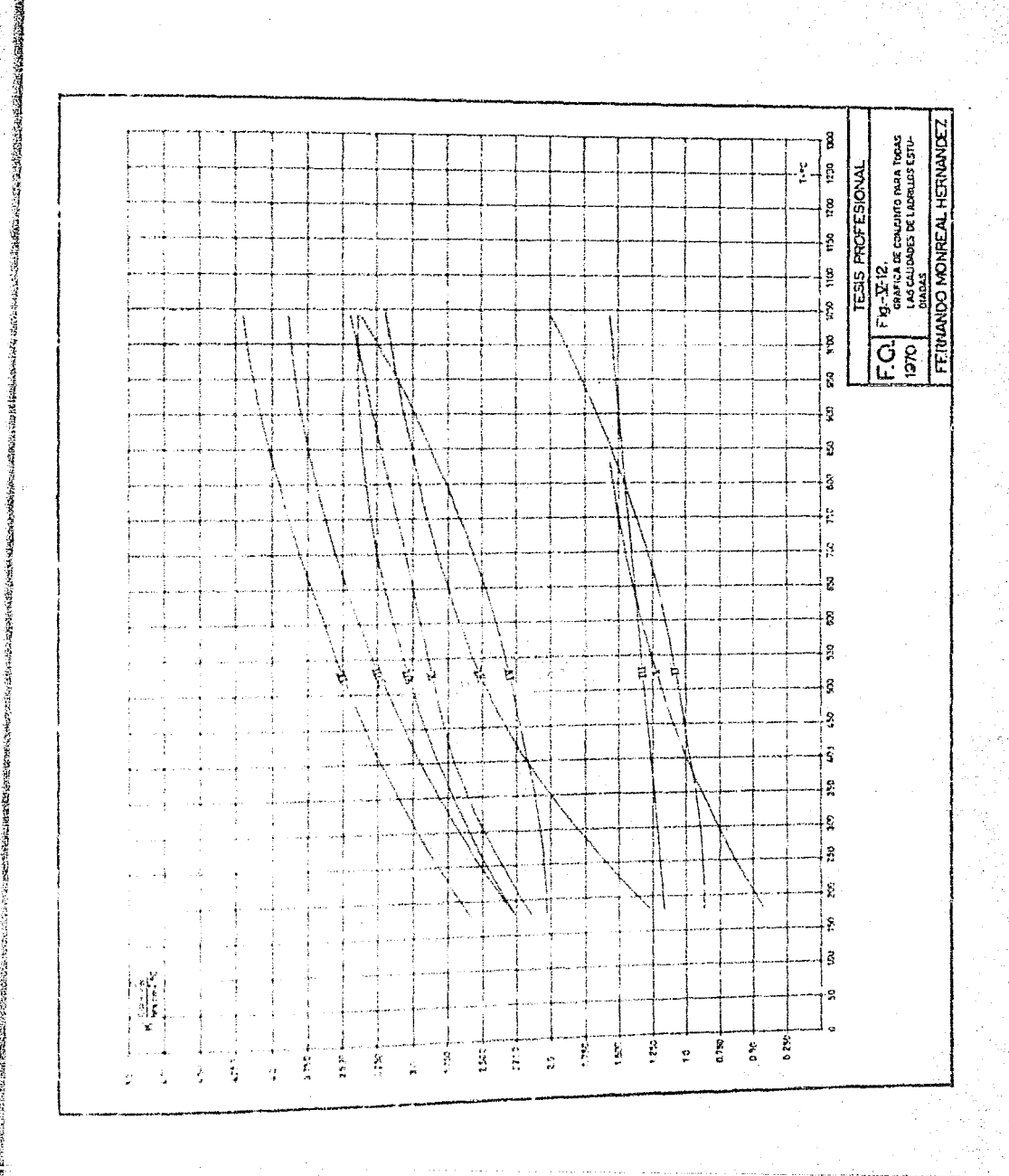
OBSERVACIONES.

- 1.- Las lecturas se realizan actualmente con ayuda de una lente de aumento acoplada al potenciómetro.
- Precuentemente durante cada determinación, sefectúan recalibraciones en el potenciómetro.
- 3.- Los programas de calentamiento se han estado modificando, afinaciones en la instrumentación se realizaron y se ha elegido la situación del lugar más adecuado para la operación del aparato buscando la obtención de reproducibilidad experimental de resultados conveniente.
- 4.- Un sólo operario se requiere, el cual coloca la muestra, monta el calorímetro y los termopares, inserta el programa de trabajo, efectúa las conexiones necesarias y toma las lecturas del potenciómetro, recalibrándolo continuamente.
- 5.- Las temperaturas elegidas de medición son las que normalmente se reportan en la literatura, aproximadas debido a la sensibilidad del sis
 tema.
- 6.- Les conductividades de cada material se graficaron a la temperatura de cara caliente de la muestra, ya que en tal forma se acostumbra hacerlo para materiales cerámicos en los que se comportan como materiales diferentes los que están próximos a la cara caliente, los que se
 tienen a una temperatura media y los que estan en la cara fría, sobre
 todo en materiales aislantes como los estudiados.

Por etra parte, esta temperatura de care caliente idealmente es la temperatura del horno de calentamiento, siendo esta normalmente controlable.







CAPITULO VI.

CONCLUSIONES.

- 1.- Un aparato para la determinación de la condutividad térmica de materiales cerámicos, que puede operar entre 150 y 1500°C, se evaluó, construyó y puso en operación.
- 2.- Se determinaron las conductividades térmicas para nueve calidades diferentes de ladrillo aislante.
- 3.- La exactitud del aparato ha sido comprobada por comparación de los resultados obtenidos con los reportados en la literatura para materiales similares medidos con el aparato recomendado por el A.S.T.M. Designación:

 C 201-68 (3, 31 y 35), y con los resultados reportados por la Compañía

 A.P. Green Refractories Co. en los Estados Unidos de Norteamerica y medidos con un aparato similar.
 - Se realizan estudios tendientes a optimizar los ciclos de operación y en consecuencia afinar tanto la exactitud como la duplicidad de los resultados.
- necesaria, y debe complementarse para hacer totalmente automática la ---

operación del aparato.

- 5.- El procedimiento de manejo es sencillo y las cantidades de muestra necesarias son relativamente pequeñas.
- 6.- Debido a que las principales fuentes de error son realizadas durante el procedimiento experimental como:
 - A) Variación en la forma y lugar de colocación de los termopares.
 - B) Colocación de la muestra, calorímetro y anillos protectores.
 - C) Buen contacto térmico entre la muestra y el calorímetro.
 - D) Construcción eficiente de los termopares.
 - I) Errores en la tema de lecturas.
 - F) Variaciones de corriente eléctrica.

Será necesario una preparación más eficiente de los operadores y mejorar, como ya se menciono, ciertos instrumentos.

- 7.- De la gráfica construída "Densidad vs. K" se concluye que en general -los materiales más densos tienen un coeficiente de conductividad têrmica
 mayor.
- 8. De las curvas obtenidas en "Porosidad vs. K" se puede observar que cuando menos en ciertos rangos a mayor porosidad, menor coeficiente de conductividad térmica y viceversa.

- 9.- De la gráfica de conjunto en la que se muestran las curvas para cada uno de los materiales estudiados, se aprecía que la conductividad têr mica aumenta en relación directa con la temperatura de servicio de ca da uno de estos materiales. (gráfica V-12).
- 10.-Una investigación complementaria sobre las muestras, desde el punto de vista cristalográfico por medio de petrografía y difracción con rayes X deberá realizarse, tendiente a analizar y correlacionar los cambios cristalográficos ocurridos con las tendencias de conductividad.
- 11.-Del estudio teórico efectuado y de los resultados analizados puede concluirse que los factores mas importantes que afectan la conductividad térmica son:
 - () El espacio hueco total.
 - 2) La composición química.
 - 3) La remperatura de servicio.
 - 4) El tiempo y temperatura de quemado de los materiales.

Deben ser considerados además, la proporción, forma, orientación y continuidad de los espacios vacíos, la conductividad térmica de la matriz sólida y el gas en los poros.

BIBLIOGRAFIA.

1.- Adams, M. y Loeb, A.L.

Thermal Conductivity: Il, "Development of a thermal conductivity expression for the special case of prolate spheroids". Journal of The American Ceramic Society, Vol. 37 (2, Part. II),

Pags.: 73 - 74

2.- Austin, J.B.

1954.

Factors affecting thermal conductivity of nonmetallic materials. Brick & Clay Record, Vol. 94 (3), 1939.

Pags.: 42 - 44.

3.- Austin, J.B. y Pierce, R.H.H., Jr. Reliability of measurements of the thermal conductivity of refractory brick. Journal of The American Ceramic Society, Vol. 18, 1935. Pags.: 48 - 54.

4.- Barret, L.R.

Heat transfer in refractory insulating materials.

Parte I: Texture and insulating power.

Transactions of the Brithish Ceramic Society, Vol. 48, 1949.

Pags.: 235 - 262.

5.- Barret, L.R.; Vyse, J. y Green, A.T.

Heat Transfer in Refractory Insulating Materials.

Parte II: Studies of a Heat dissipation test for insulating materials.

Transactions of the Brithish Ceramic Society, Vol. 49, 1950.

Pags. 95 - 121.

Parte III: Thermal conductivity and permeability as related directional properties.

Ibid, Pags.: 122 - 128.

6.- Bopp, C.D.

Measurement of thermal conductivity with mercury contacts.

Journal of The American Ceramic Society, Vol. 43 No. 3, 1964.

Pags.: 151 y 152.

7.- Brady, J.G.

An apparatus for the measurement of the thermal conductivity of refractory materials at elevated temperatures.

Journal of The American Ceramic Society, Vol. 23, 1954.

Pags.: 19 - 30.

8.- Bravo, J.M.

Slag resistance of some selective refractories.

Iowa State University of Science and Technology.

Master Thesis, 1965

9.- Budni Kov, P.P.

The technology of ceramics and refractories
Translation by Scripta Technica.

The M. H.T. Press. - 1964.

- 10.- Chavart, F.R. y Kingery, W.D.
 Thermal conductivity: XIII, "Effect of microstructure on conductivity of single-phase ceramics.
 Journal of The American Ceramic Society, Vol. 24, 1957.
 Pags.: 306 315.
- 11.- Clayton, H.W. y Whyman, M.H. Thechnical Report, of Pilkington Brothers Limited, 1965.
- 12.- Clements, J.F. y Vyse, J.
 A new thermal conductivity apparatus for refractory materials.
 Transactions of The Brithish Ceramic Society, Vol. 53, 1954.
 Pags.: 134 155.
- 13.- Dinger, C.; Kind, A; Schutz, N; y Dietzel, A. Determining thermal conductivity at high temperatures. Ber. Deut. Keram. Ges., Vol. 20 (8), 1939. Pags.: 347 - 362.
- 14.- Filolenko, N.E. y Finck, J.L.

 An apparatus for measuring the thermal conductivity of refractories at high temperatures.

 Journal of The American Ceramic Society, Vol. 18 (1), 1935.

 Pags. 6 12.
- 15.- Finck, J.L. Improved apparatus for measuring thermal conductivity of refractories at high temperatures.

N 100

Journal of The American Ceramic Society, Vol. 20 (11), 1937. Pags.: 378 - 382.

- 16.-Francl, J. y Kingery, W.D. Thermal conductivity: IX, "Experimental investigation of effect of porosity on thermal conductivity." Journal of The American Ceramic Society, Vol. 37 (2, Parte II), 1954.
 - Pags.: 99 107.
- 17.-Griffiths, E. y Challenor, A.R.

 Determination of the thermal conductivity of refractory materials.

 Transactions of The Brithish Ceramic Society, Vol. 40 (2), 1941.

 Pags.: 40 53.
- 18.-Hadfield, R. y Sarjant, R.J.

 Control of the thermal properties of refractory materials.

 Journal of Refractories, Vol. 10 (2), 1934.

 Pags.: 62 66.
- 19.- Halm, L. y Lapoujade, P.
 Note on the measurement of thermal conductivity of refractory products.
 Eull. Soc. Franc. Céram., No. 4, 1949.
 Pags.: 6 11.
- 20.-Heilman, R.M.

 Heat transmission through bare and insulated furnace walls.

 Transactions of The American Institute of Chemical Engineers.

 Vol. 31, 1935.

 Pags.: 165, 189 y 191.

21.-Kingery, W.D.

Introduction to Ceramics.

John Wiley & Sons, Inc.

4a. Edición, Abril de 1967.

Pags.: 486 - 509.

22.-Kingery, W.D.

Thermal conductivity: XIV, "Conductivity of multicomponent systems"

Journal of The American Ceramic Society, Vol. 42, No. 12,

diciembre 1959

Pags.: 617 - 627.

23.-Kittel, C.

"Interpretation of thermal conductivity of glasses"

Ceramic Abstracts, enero de 1950.

Pagina: 15a.

24.-Loeb, A.L.

Thermal conductivity: VIII, "Theory of thermal conductivity of porous materials."

Journal of The American Ceramic Society, Vol. 37 (2, Parte II), 1954.

Pags.: 96 - 99.

25.-McNamara, Edward P. y Dulberg, Irving.

Fumdamentals of Ceramica.

College of Mineral Industries.

The Pennsylvania State University, 1958.

26.-Measurements of thermal conductivity.

Ceramics, 1, 1950.

Pags.: 614 - 618.

27.-Modern Refractory Practice.

Harbison - Walker Refractories Company. The William Feather Company, Cleveland, 1961.

Pags.: 320 - 336.

28.-Nicholls, P.

Determination of thermal conductivity of 353 refractories. Bulletin of The American Ceramic Society, Vol. 15 (2), 1936.

Página: 37

29.-Norton, C.L. Jr.

Apparatus for measuring thermal conductivity of refractories.

Journal of The American Ceramic Society, Vol. 25 (5), 1942.

Página: 451,

30.-Norton, F.H.

Refractories.

Me.Graw - Hill Book Company, Inc.

1.949

Capitulo No. XVIII

31. Patton, T.C. y Norton, C.L. Jr.

Yeasurement of thermal conductivity of fireclay refrictories.

Journal of The American Ceramic Society, Vol. 26, 1943.

Página: 350.

32.-Perry, John H.

Chemical Engineers Handbook
McGraw - Hill Book Company, Inc.
4a. Edición - 1963.

33.-Refractories Bibliography. - 1928 a 1947 (inclusive).
American Iron and Steel Institute, and The American Ceramic Society, Inc.
Columbus, Ohio - 1950.

34.-Refractories Bibliography. - 1947 - 1956.
Compiled by: The Joint Refractory Committee of The American Iron and Steel Institute and The Refractories Institute.
University of Oklahoma Press. - 1959.

- 35.-Refractories, Glass and Other Ceramic Materials;
 Manufactured Carbon and Graphite Products.

 1969, Book of A.S.T.M. Standards with Related Material.
 Parte 13
 American Society for Testing and Materials. 1969.
- 36.-Ruh, Edwin y McDowell, J. Spotts.

 Thermal conductivity of fireclay brick.

 Journal of The American Ceramic Society, Vo. 45, No. 4, 1962.

 Pags.: 189 195.
- 37.-Schwartz, M.A.

 Thermal conductivity of some refractory materials at elevated temperatures.

U.S. Atomic Energy Comm. Publ., No. NEPA - 1015, 1949.

38.-Singer, Felix y Singer, Sonja S. Industrial Ceramics. Chapman & Hall Ltd. Londres - 1963.

39.-Sutton, W.H.

Apparatus for measuring thermal conductivity of ceramic and metallic materials to 1200°C.

Journal of The American Ceramic Society, Vol. 43 (2), 1960.

Pags.: 81 - 86.

40.-Thermal Conductivity Furnace.

Laboratory Report - Laboratory Number E-19

A.P. Green Refractories Co.

Research Center, Mexico Missouri

25 de abril de 1968.

41.-Waddams, A.L.

Flow of heat through granular material.

Journal Soc. Chem. Ind., Vol. 63T (11), 1944.

Pags.: 337 - 340

42.-Wallace, Richard W.; Norton, C.L. Jr; Bart Ronald y
Brady, John G.
Precision studies using. A.S.T.M. thermal conductivity test
for refractories.

Industrial Heating.

Refractories and Insulation Section.

Enero de 1959. - Paga.: 122 a 126.

43.-Winckler, J.R.

Spherical furnace calorimeter for direct measurement of specific heat and thermal conductivity.

Journal of The American Ceramic Society, Vol. 26 (10), 1943.

Pags.: 339 - 349

44.-Wygant, J.F. y Crowley, M.S.

Effects of high-conductivity gases on the thermal conductivity of insulating refractory concrete.

Journal of The American Ceramic Society.

Mayo 1958.

45,-Young, R.C.; Hartwing, F.J. y Norton, C.L.

Effect of various atmospheres on thermal conductance of refractories.

Journal of The American Ceramic Society, Vol. 47 No. 5,

Pags.: 205 - 210.

Mayo 21, 1964.